



# Εισαγωγή στις Τηλεπικοινωνίες

## Μετάδοση Ψηφιακών Δεδομένων

Γεωμετρική Αναπαράσταση Σημάτων

Βέλτιστος Δέκτης

Προσαρμοσμένο Φίλτρο/Συσχέτισης

Υπολογισμός Πιθανότητα Λάθους

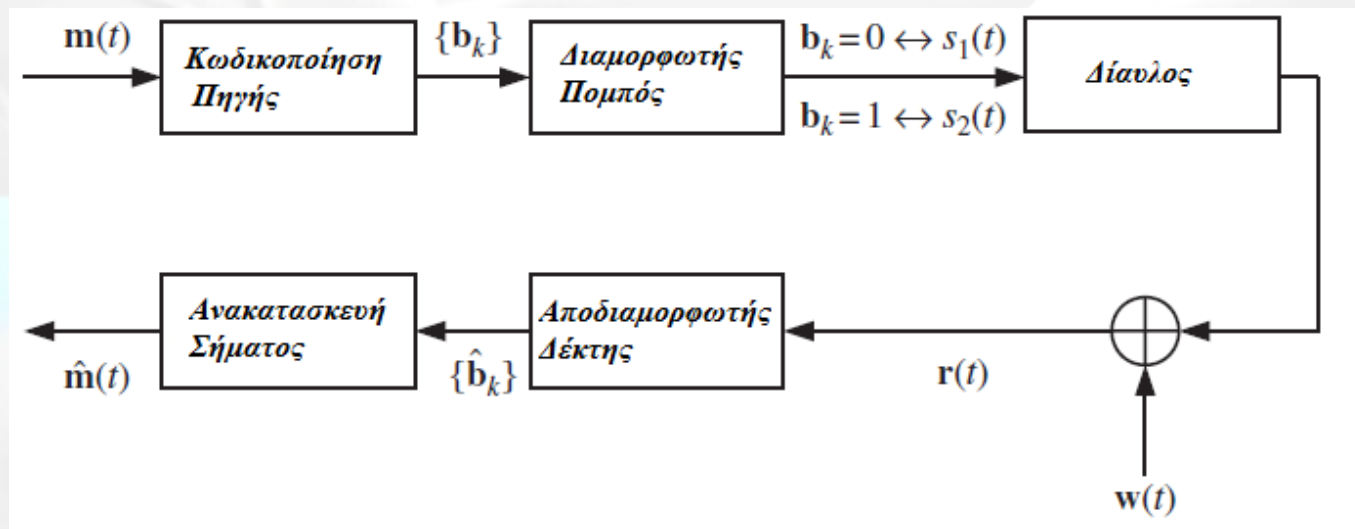
**Αθανάσιος Δ. Παναγόπουλος**  
**Καθηγητής ΕΜΠ**



# Εισαγωγή

Σε αυτή τη σειρά διαφανειών θα μελετηθεί ο *Βέλτιστος Δέκτης* (*optimum receiver*) για ένα δυαδικό ψηφιακό σύστημα επικοινωνιών

(*binary* digital communication system)

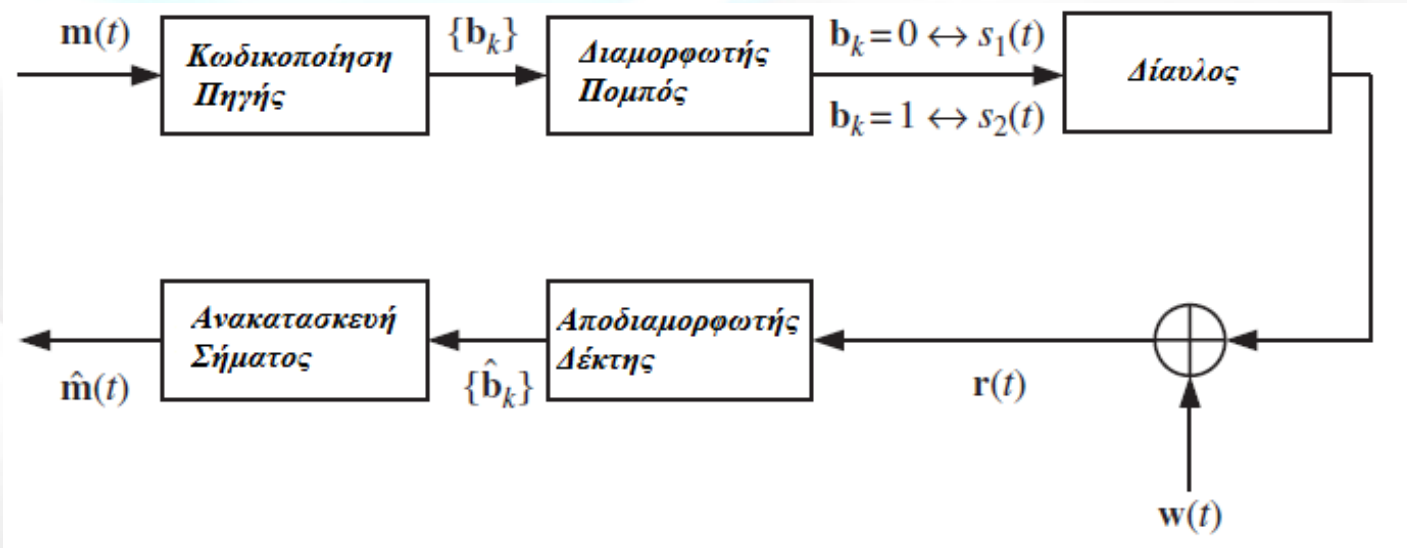


Η διάρκεια του bit του  $b_k$  είναι  $T_b$  sec.

Ρυθμός Bits:  $R_b = 1/T_b$

Πιο συγκεκριμένα θα υπολογιστεί η πιθανότητα λάθους.  
Για Μοντελοποίηση καναλιού θεωρούμε AWGN.

# Block Διάγραμμα Δυαδικού Ψηφιακού Συστήματος Επικοινωνιών



Τα Bits σε δύο διαφορετικές χρονικές σχισμές είναι στατιστικά ανεξάρτητα.

$$P[b_k = 0] = P_1, \quad P[b_k = 1] = P_2.$$

$$b_k = 0 \leftrightarrow s_1(t)$$

$$b_k = 1 \leftrightarrow s_2(t)$$

$$E\{w(t)\} = 0, \quad E\{w(t)w(t + \tau)\} = \frac{N_0}{2}\delta(\tau)$$

$$E_1 = \int_0^{T_b} s_1^2(t) dt \text{ (joules)}, \quad E_1 < \infty,$$

$$E_2 = \int_0^{T_b} s_2^2(t) dt \text{ (joules)}, \quad E_2 < \infty.$$

Οι κυματομορφές είναι τυχαίες άλλα γνωστές στο δέκτη. Ο διάυλος είναι αρκετά ευρυζωνικός ώστε να περάσουν τα σήματα χωρίς παραμόρφωση. Δεν υπάρχει διασυμβολική παρεμβολή μεταξύ των ψηφίων.



# Βέλτιστος Δέκτης για Μετάδοση Δυαδικών Δεδομένων

Το διάστημα που στέλνουμε το bit  $b_k$  είναι:  $[(k-1)T_b, kT_b]$

Το λαμβανόμενο σήμα στο χρονικό διάστημα  $[(k-1)T_b, kT_b]$

$$r(t) = s_i(t - (k-1)T_b) + w(t), \quad (k-1)T_b \leq t \leq kT_b$$

Ο στόχος είναι να σχεδιαστεί ένας δέκτης (αποδιαμορφωτής) έτσι ώστε παρατηρώντας το σήμα η πιθανότητα να γίνει λάθος στην αναγνώριση ψηφίου ελαχιστοποιείται.

**Για να γίνει αυτό πρέπει να οδηγήσουμε το πρόβλημα από την παρατήρηση στο χρόνο μιας μιας κυματομορφής ---- στην παρατήρηση ενός συνόλου αριθμών τυχαίων μεταβλητών.**  
(sufficient statistics)

Μεθοδολογία Λύσης:

Γεωμετρική αναπαράσταση των σημάτων  $s_1(t)$ ,  $s_2(t)$ ,  $w(t)$ .

Σχέση μεταξύ ενέργειας σήματος, απόσταση μεταξύ σημάτων και πιθανότητα λάθους.



# Γεωμετρική Αναπαράσταση Σημάτων

Επιθυμούμε να αναπαραστήσουμε 2 τυχαία σήματα  $s_1(t)$  &  $s_2(t)$  ως γραμμικό συνδυασμό δυο ορθοκανονικών συναρτήσεων βάσης  $\phi_1(t)$  &  $\phi_2(t)$ .

Μια βάση  $\{\vec{e}_1, \vec{e}_2, \dots, \vec{e}_k\}$  ενός υπόχωρου  $V$  του  $\mathbb{R}^N$ , θα λέμε ότι είναι *ορθογώνια βάση*, αν τα διανύσματά της είναι ανά δύο κάθετα μεταξύ τους, εάν δηλαδή

$$\vec{e}_i \cdot \vec{e}_j = 0 \text{ όταν } i \neq j.$$

Εάν τα  $\vec{e}_1, \vec{e}_2, \dots, \vec{e}_k$  είναι επιπλέον μοναδιαία, τότε η βάση ονομάζεται *ορθοκανονική*.

$$\int_0^{T_b} \phi_1(t)\phi_2(t)dt = 0$$

Ορθογωνιότητα

$$\int_0^{T_b} \phi_1^2(t)dt = \int_0^{T_b} \phi_2^2(t)dt = 1$$

Κανονικοποίηση

$$\phi_1(t) \quad \phi_2(t)$$

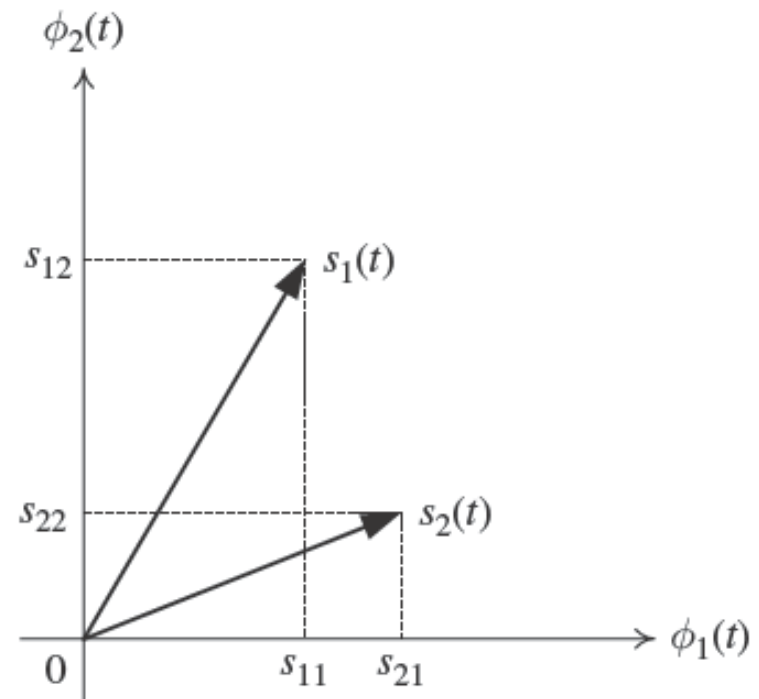
Ορθοκανονική Βάση



# Γεωμετρική Αναπαράσταση Σημάτων

$$\begin{aligned}s_1(t) &= s_{11}\phi_1(t) + s_{12}\phi_2(t), \\ s_2(t) &= s_{21}\phi_1(t) + s_{22}\phi_2(t).\end{aligned}$$

$$s_{ij} = \int_0^{T_b} s_i(t)\phi_j(t)dt, \quad i, j \in \{1, 2\},$$



$\int_0^{T_b} s_i(t)\phi_j(t)dt$	<u>projection</u>	$s_i(t)$	$\phi_j(t)$
----------------------------------	-------------------	----------	-------------

Προβολή



# Γεωμετρική Αναπαράσταση Σημάτων

## Μέθοδος Gram- Schmidt (Γενικό)

Αν υποθέσουμε ότι έχουμε ένα σύνολο  $M$  πεπερασμένων ενεργειακά κυματομορφών  $\{s_i(t), i = 1, 2, \dots, M\}$  και θέλουμε να φτιάξουμε ένα σύνολο ορθοκανονικών κυματομορφών που μπορούν να αναπαραστήσουν ακριβώς  $\{s_i(t), i = 1, 2, \dots, M\}$ .

Η πρώτη ορθοκανονική συνάρτηση μπορεί να βρεθεί :

$$\varphi_1(t) = \frac{s_1(t)}{\sqrt{\int_{-\infty}^{+\infty} s_1^2(t) dt}}$$

Οι επόμενες κυματομορφές βρίσκονται ως :  $\varphi_i(t) = \frac{\varphi_i'(t)}{\sqrt{\int_{-\infty}^{+\infty} (\varphi_i'(t))^2 dt}}, i = 2, 3, \dots, N$

$$\text{όπου } \varphi_i'(t) = \frac{s_i(t)}{\sqrt{E_i}} - \sum_{j=1}^{i-1} \rho_{ij} \varphi_j(t) \text{ και } \rho_{ij} = \int_{-\infty}^{+\infty} \frac{s_i(t)}{\sqrt{E_i}} \varphi_j(t) dt \text{ για } j = 1, 2, \dots, i-1.$$





# Μέθοδος Gram- Schmidt (Γενικό)

Εν γένει ο αριθμός των ορθοκανονικών συναρτήσεων  $N$  είναι μικρότερος ή ίσος από τον αριθμό των δεδομένων κυματομορφών  $M$  και έχουμε τις δύο παρακάτω περιπτώσεις:

- (i) Εάν οι κυματομορφές  $\{s_i(t), i = 1, 2, \dots, M\}$  σχηματίζουν ένα σύνολο γραμμικώς ανεξάρτητων συναρτήσεων τότε  $N = M$ .
- (ii) Εάν οι κυματομορφές  $s_i(t), i = 1, 2, \dots, M\}$  δεν είναι γραμμικώς ανεξάρτητες τότε  $N < M$ .





# Μέθοδος Gram- Schmidt (βήμα προς βήμα)

$$\phi_1(t) \equiv \frac{s_1(t)}{\sqrt{E_1}} \quad s_{11} = \sqrt{E_1} \quad s_{12} = 0$$

Πρόβαλε  $s_2'(t) = \frac{s_2(t)}{\sqrt{E_2}}$  ,  $\phi_1(t)$  για να πάρουμε τον συντελεστή συσχέτισης (correlation coefficient)  $\rho$ :

$$\rho = \int_0^{T_b} \frac{s_2(t)}{\sqrt{E_2}} \phi_1(t) dt = \frac{1}{\sqrt{E_1 E_2}} \int_0^{T_b} s_1(t) s_2(t) dt$$

Αφαίρεση της προβολής

$$\phi_2'(t) = \frac{s_2(t)}{\sqrt{E_2}} - \rho \phi_1(t)$$

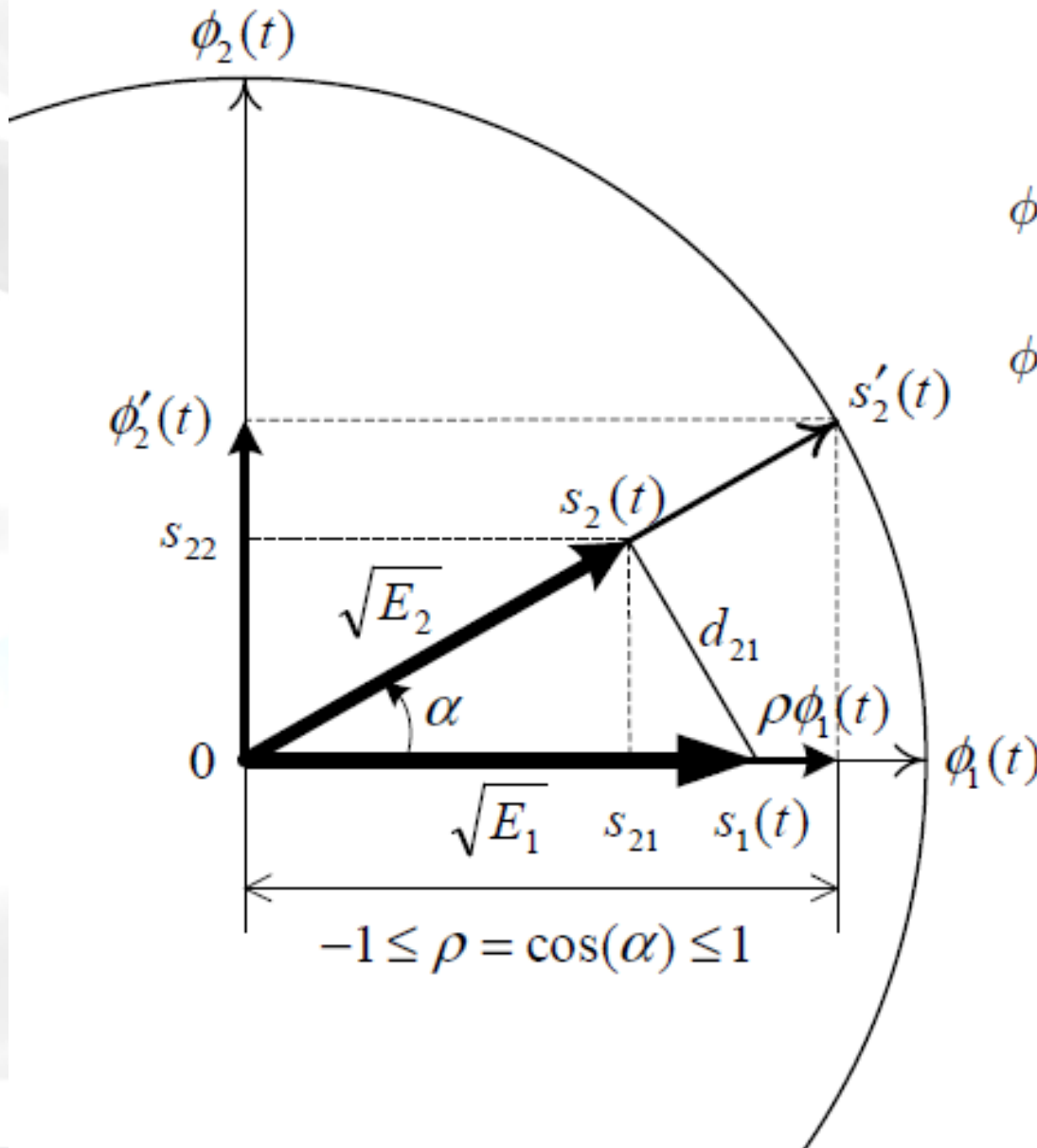
Κανονικοποίηση

$$\begin{aligned} \phi_2(t) &= \frac{\phi_2'(t)}{\sqrt{\int_0^{T_b} [\phi_2'(t)]^2 dt}} = \frac{\phi_2'(t)}{\sqrt{1 - \rho^2}} \\ &= \frac{1}{\sqrt{1 - \rho^2}} \left[ \frac{s_2(t)}{\sqrt{E_2}} - \frac{\rho s_1(t)}{\sqrt{E_1}} \right]. \end{aligned}$$



# Γεωμετρική Αναπαράσταση Σημάτων

## Μέθοδος Gram- Schmidt



$$\phi_1(t) = \frac{s_1(t)}{\sqrt{E_1}},$$

$$\phi_2(t) = \frac{1}{\sqrt{1 - \rho^2}} \left[ \frac{s_2(t)}{\sqrt{E_2}} - \frac{\rho s_1(t)}{\sqrt{E_1}} \right],$$

$$s_{21} = \int_0^{T_b} s_2(t) \phi_1(t) dt = \rho \sqrt{E_2},$$

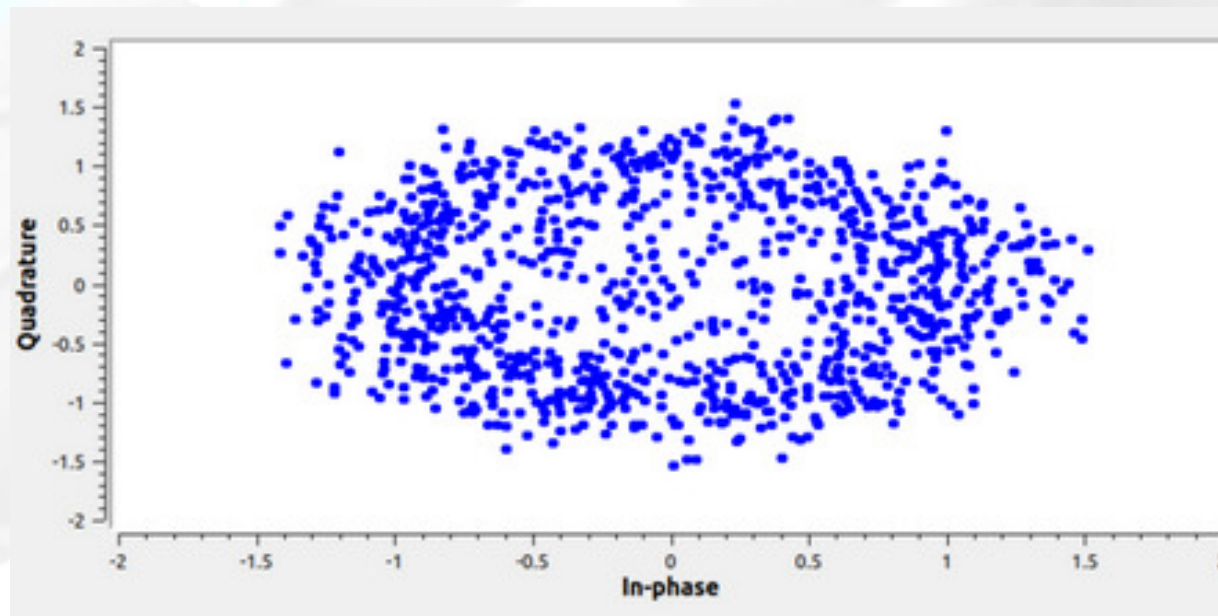
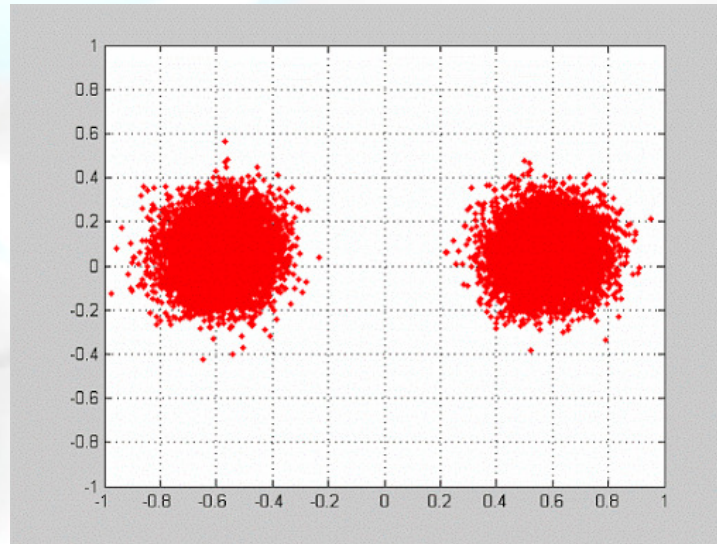
$$s_{22} = \left( \sqrt{1 - \rho^2} \right) \sqrt{E_2},$$

$$d_{21} = \sqrt{\int_0^{T_b} [s_2(t) - s_1(t)]^2 dt}$$

$$= E_1 - 2\rho\sqrt{E_1 E_2} + E_2.$$



# Constellation BPSK with noise



# Γεωμετρική Αναπαράσταση Σημάτων

Μια σημαντική γεωμετρική ερμηνεία που προκύπτει είναι:

Η απόσταση οποιουδήποτε ενός σημείου/σήματος από την αρχή είναι η τετραγωνική ρίζα της Ενέργειας του σήματος

Για παράδειγμα:

Για το σήμα  $s_2(t)$  η απόσταση είναι:

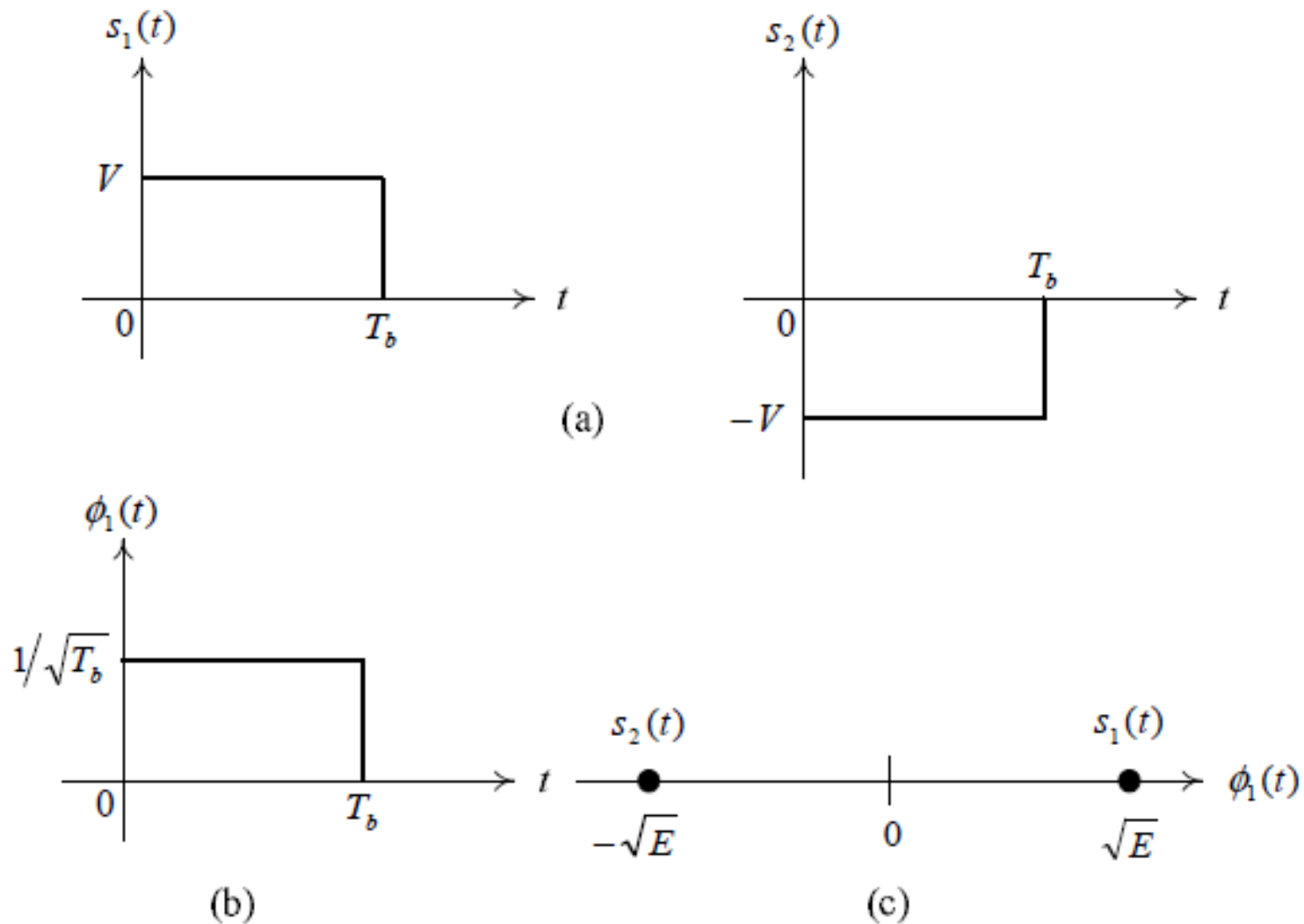
$$\text{απόσταση} = \sqrt{s_{21}^2 + s_{22}^2} = \sqrt{E_2}$$

**Η Γενική Πρόταση είναι:**

Εάν ένα σήμα γράφεται σαν γραμμικός συνδυασμός ορθοκανονικών συναρτήσεων τότε η απόσταση του από την αρχή των αξόνων είναι πάντα ίση με τη τετραγωνική ρίζα της Ενέργειας του σήματος.

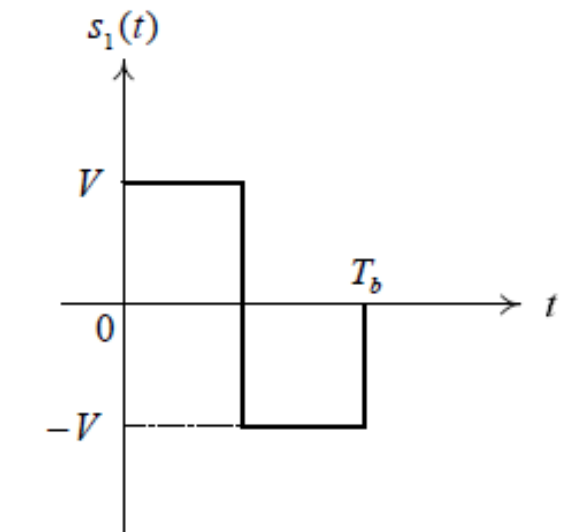


# Παράδειγμα 1

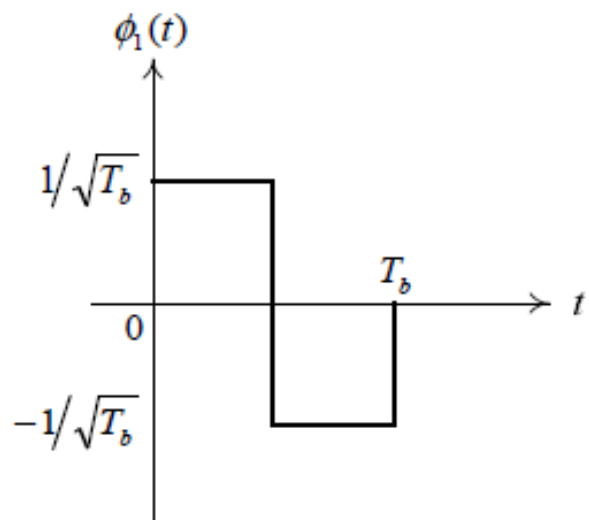
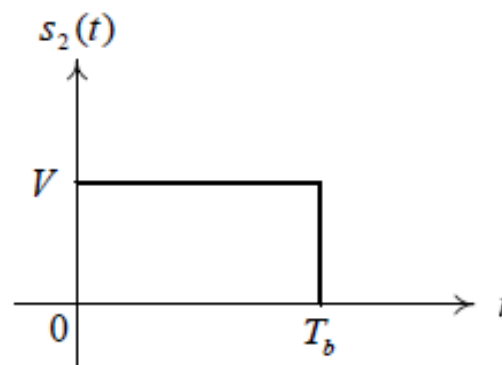


(a) Σήματα (b) Ορθοκανονική Συνάρτηση (c) Αναπαράσταση στο χώρο.

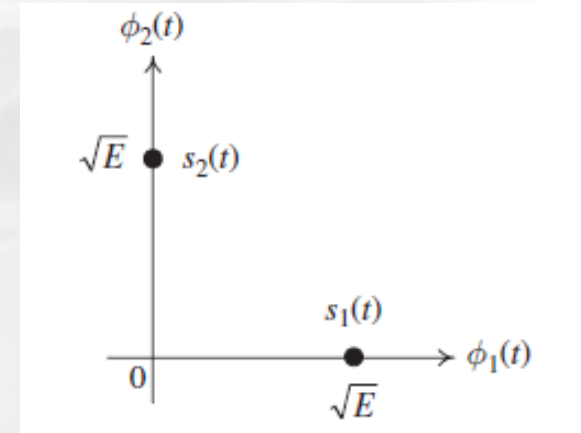
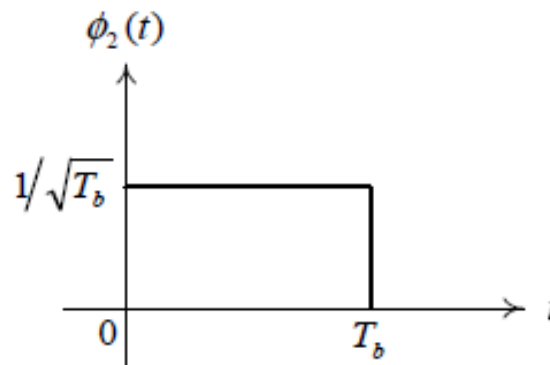
## Παράδειγμα 2



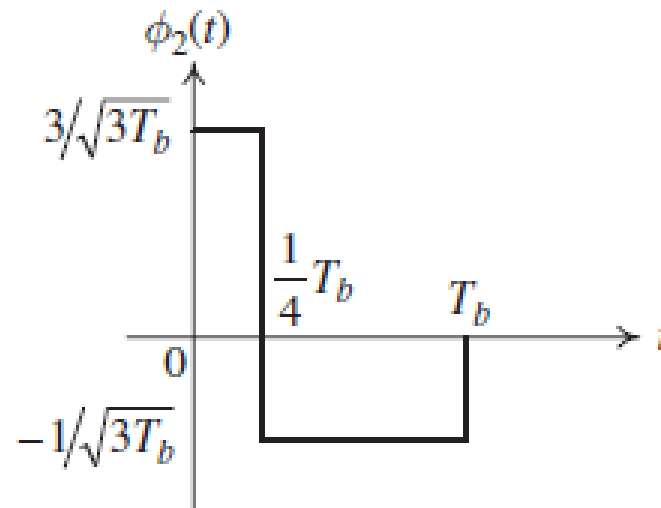
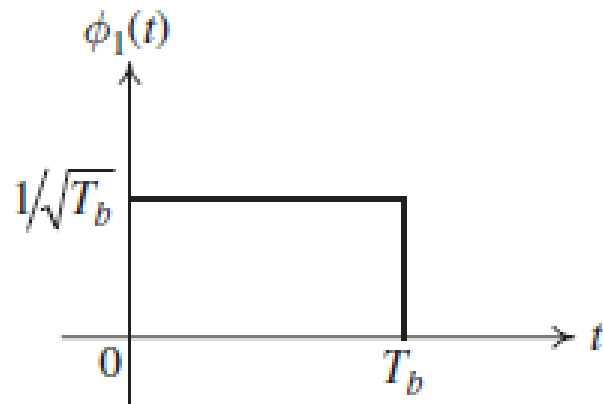
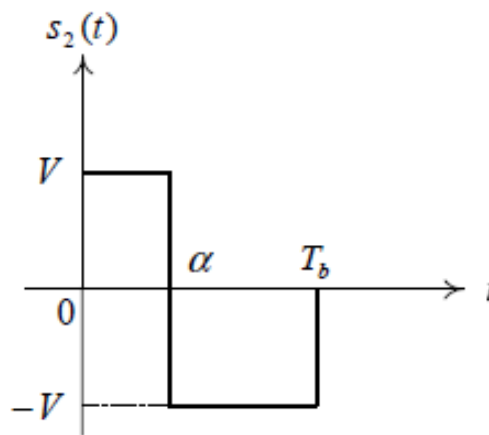
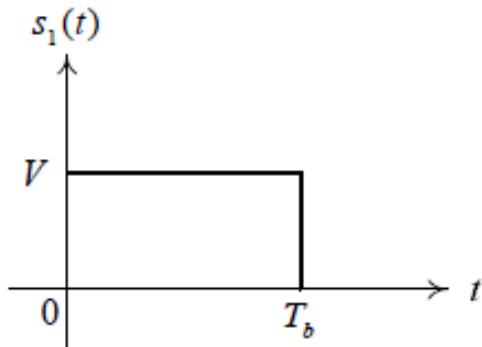
(a)



(b)

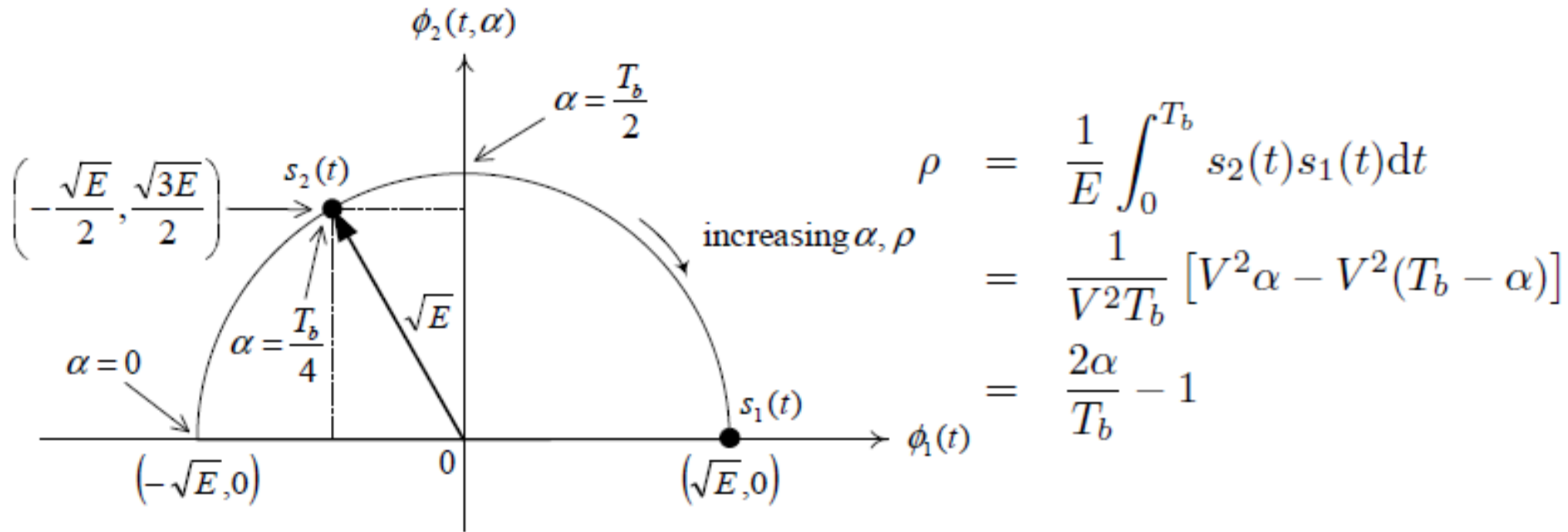


# Παράδειγμα 3



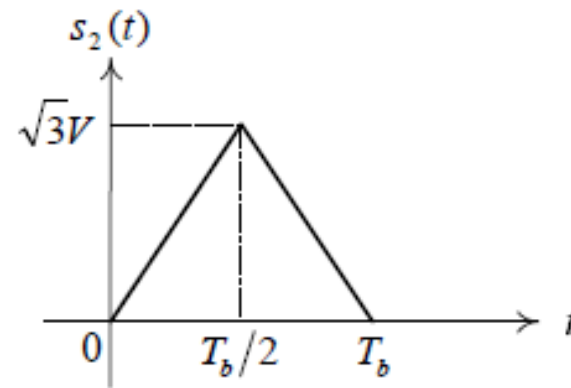
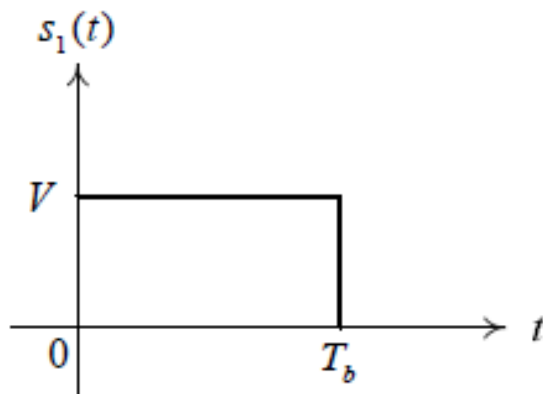


# Παράδειγμα 3

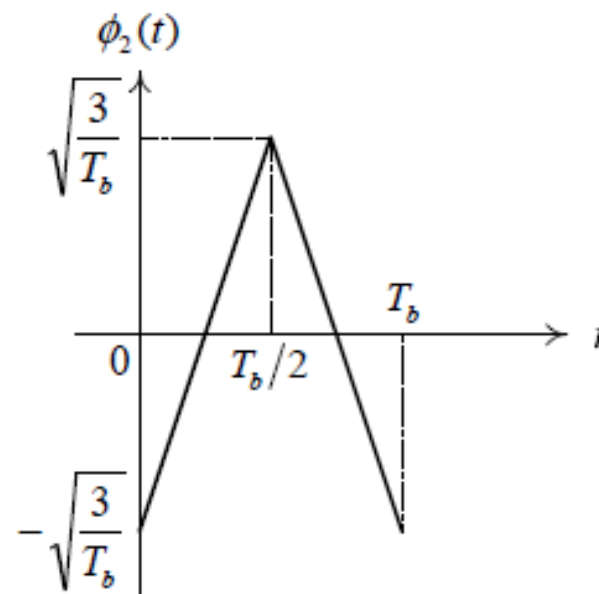
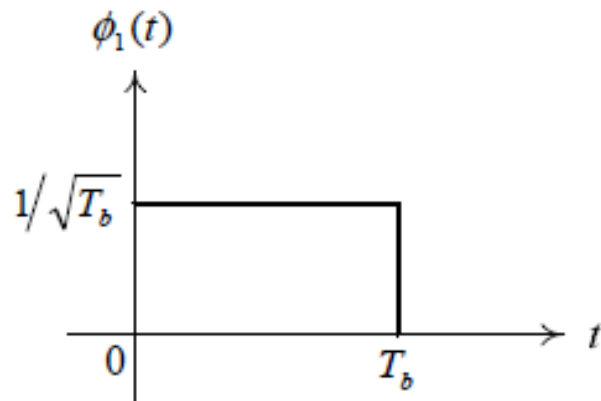


Όσο μεγαλώνει το  $\alpha$ , αυξάνει ο συντελεστής συσχέτισης  $\rho$  και η απόσταση μεταξύ των δύο σημάτων μειώνεται.

# Παράδειγμα 4

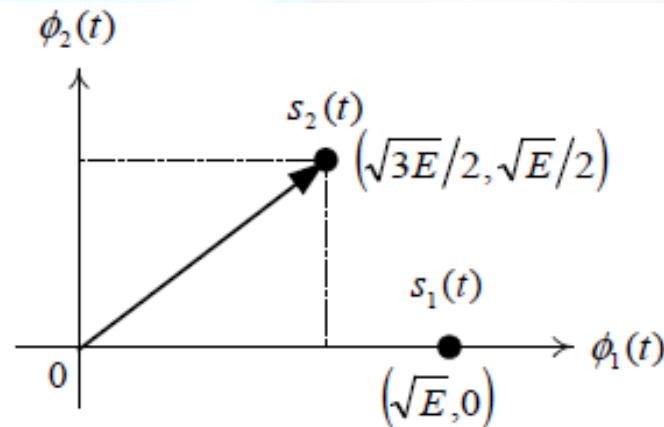


(a)



(b)

# Παράδειγμα 4



$$E = V^2 T_b \text{ joules}$$

$$\rho = \frac{1}{E} \int_0^{T_b} s_2(t) s_1(t) dt = \frac{2}{E} \int_0^{T_b/2} \left( \frac{2\sqrt{3}}{T_b} V t \right) V dt = \frac{\sqrt{3}}{2},$$

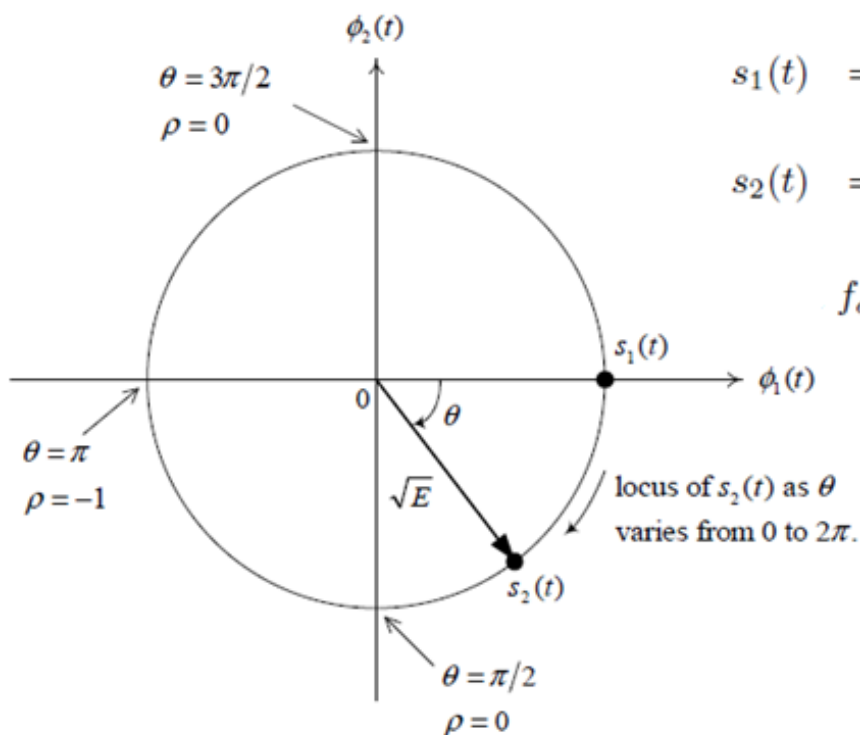
$$\phi_2(t) = \frac{1}{(1 - \frac{3}{4})^{\frac{1}{2}}} \left[ \frac{s_2(t)}{\sqrt{E}} - \rho \frac{s_1(t)}{\sqrt{E}} \right] = \frac{2}{\sqrt{E}} \left[ s_2(t) - \frac{\sqrt{3}}{2} s_1(t) \right],$$

$$s_{21} = \frac{\sqrt{3}}{2} \sqrt{E}, \quad s_{22} = \frac{1}{2} \sqrt{E}.$$

$$d_{21} = \left[ \int_0^{T_b} [s_2(t) - s_1(t)]^2 dt \right]^{\frac{1}{2}} = \sqrt{(2 - \sqrt{3}) E}.$$



# Παράδειγμα 5



$$s_1(t) = \sqrt{E} \sqrt{\frac{2}{T_b}} \cos(2\pi f_c t),$$

$$s_2(t) = \sqrt{E} \sqrt{\frac{2}{T_b}} \cos(2\pi f_c t + \theta).$$

$$f_c = \frac{k}{2T_b}, \quad k \text{ an integer.}$$

$\cos(2\pi f_c t)$ ,  $\sin(2\pi f_c t)$   
ορθογώνια  
σε διάρκεια  $T_b$

$$E_1 = E \int_0^{T_b} \frac{2}{T_b} \cos^2(2\pi f_c t) dt = E,$$

$$E_2 = E \int_0^{T_b} \frac{2}{T_b} \cos^2(2\pi f_c t + \theta) dt = E.$$

$$\phi_1(t) = \frac{s_1(t)}{\sqrt{E}} = \sqrt{\frac{2}{T_b}} \cos(2\pi f_c t).$$

$$\cos(x + y) = \cos x \cos y - \sin x \sin y.$$

$$s_2(t) = (\sqrt{E} \cos \theta) \left[ \sqrt{\frac{2}{T_b}} \cos(2\pi f_c t) \right] + (-\sqrt{E} \sin \theta) \left[ \sqrt{\frac{2}{T_b}} \sin(2\pi f_c t) \right]$$

$$\phi_2(t) = \sqrt{\frac{2}{T_b}} \sin(2\pi f_c t).$$

$$s_2(t) = s_{21}\phi_1(t) + s_{22}\phi_2(t)$$

$$s_{21} = \sqrt{E} \cos \theta, \quad s_{22} = -\sqrt{E} \sin \theta.$$



# Αστερισμός (Constellation)

Ένα σύνολο  $M$  διανυσμάτων (σημάτων) που ανήκουν σε ένα διανυσματικό χώρο ονομάζεται Αστερισμός.

Ιδιότητες:

1. Κάθε σήμα αναπαρίσταται σε ένα σημείο του αστερισμού και αντιστοιχεί σε μια διαφορετική κυματομορφή/σύμβολο. Όλες οι κυματομορφές ανήκουν στην ίδια ορθοκανονική βάση.
2. Μέση ενέργεια συμβόλου:

$$E_s = \sum_{i=1}^M \|s_i\|^2 \cdot P_r(s_i), \quad \|s_i\|^2 = \sum_{j=1}^N (s_{ij})^2 \quad P_r(s_i) = \text{πιθανότητα μετάδοσης συμβόλου}, s_{ij} = \text{συνιστώσα}$$

Η Ελαχιστοποίηση της  $E_s$  με σκοπό την Εξοικονόμηση Ενέργειας Εκπομπής απαιτεί την τοποθέτηση των σημείων κοντά στο 0.

**Μικραίνουν οι Ευκλείδειες Αποστάσεις μεταξύ των Συμβόλων –**

**Αυξάνεται η Πιθανότητα Λάθους**



# I- Q αναπαράσταση

I – in phase συνιστώσα

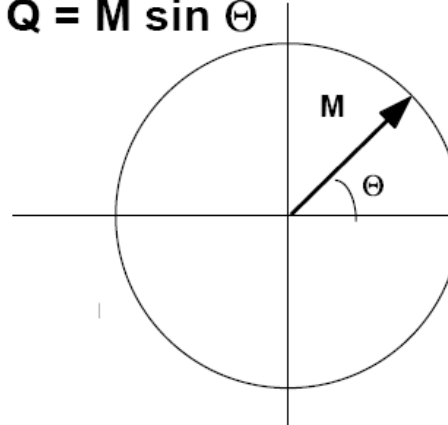
Q- quadrature συνιστώσα  
(μετατοπισμένη κατά 90deg)

$$M = \sqrt{I^2 + Q^2} \text{ πλάτος σήματος / διάνυσματος}$$

$$\Theta = \tan^{-1}\left(\frac{I}{Q}\right) \text{ φάση σήματος}$$

Quadrature component

$$Q = M \sin \Theta$$

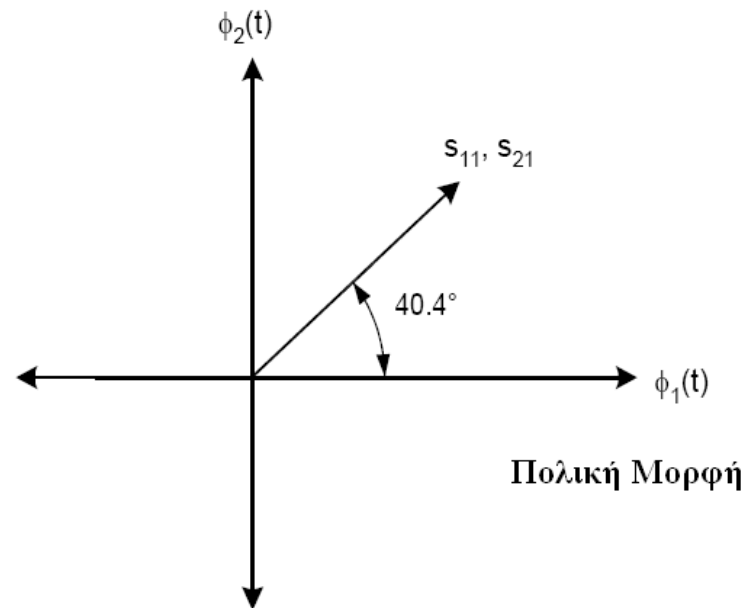
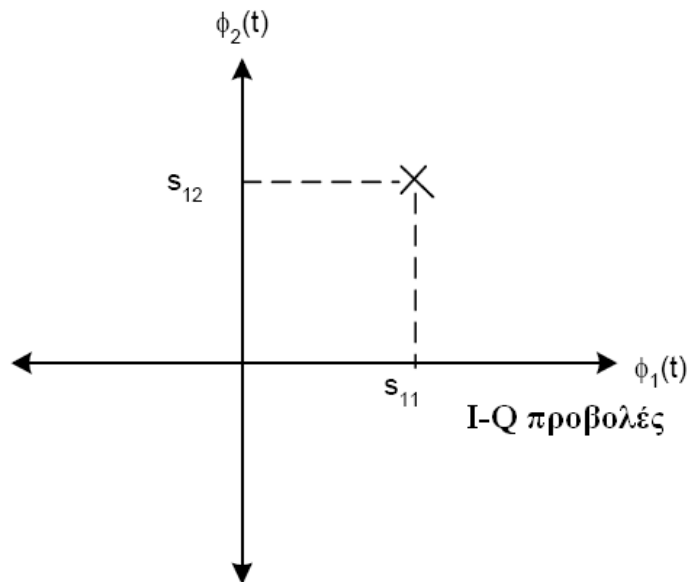


$M = \text{Πλάτος}$

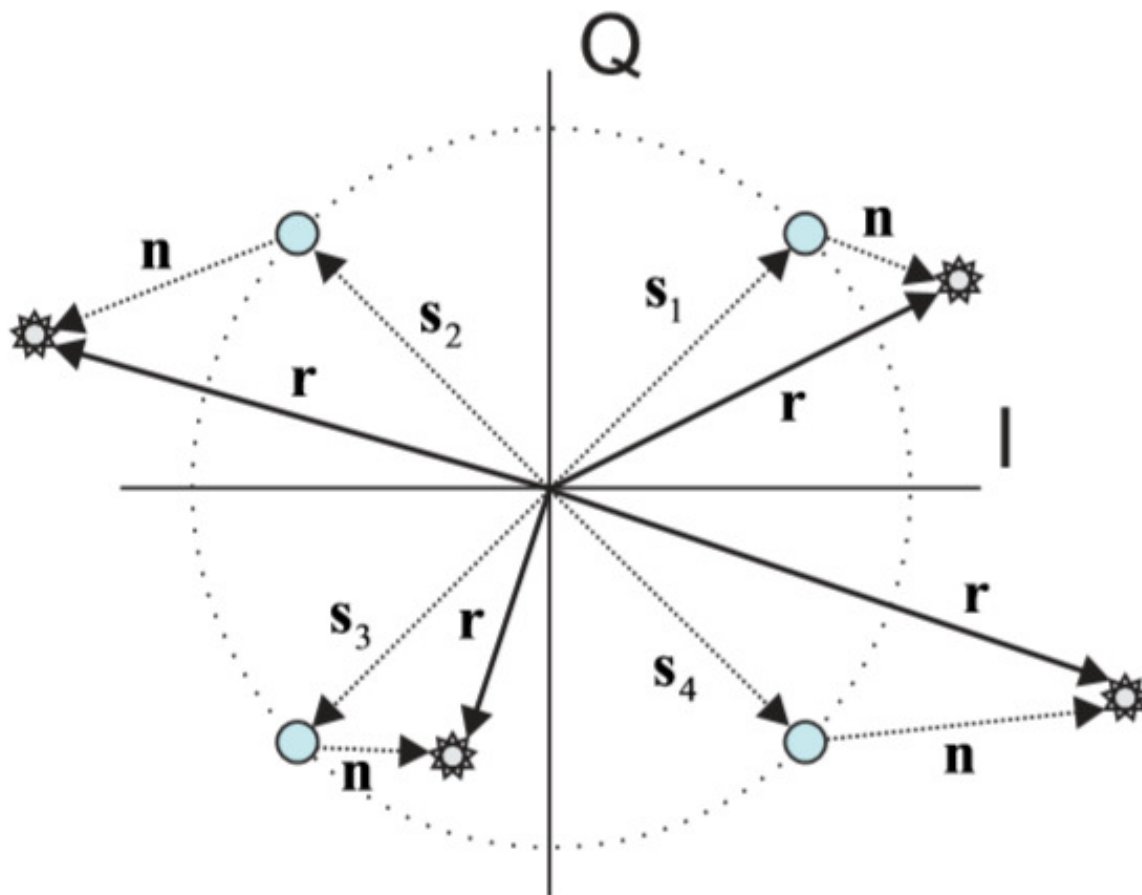
$\Theta = \text{Φάση}$

$$I = M \cos \Theta$$

In-phase component



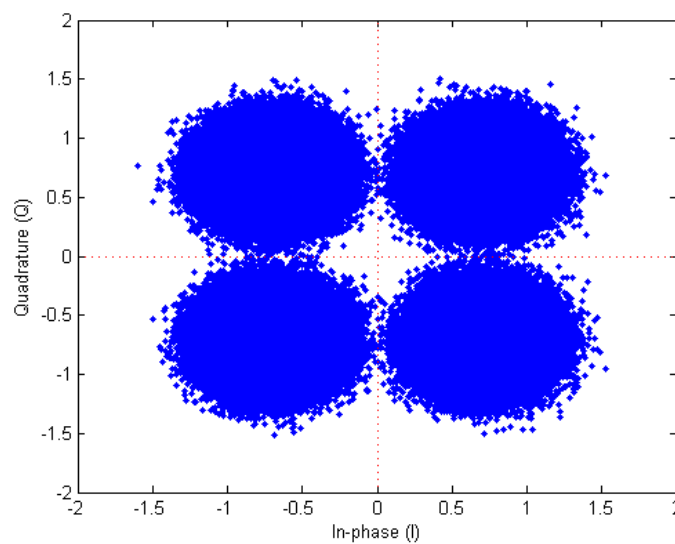
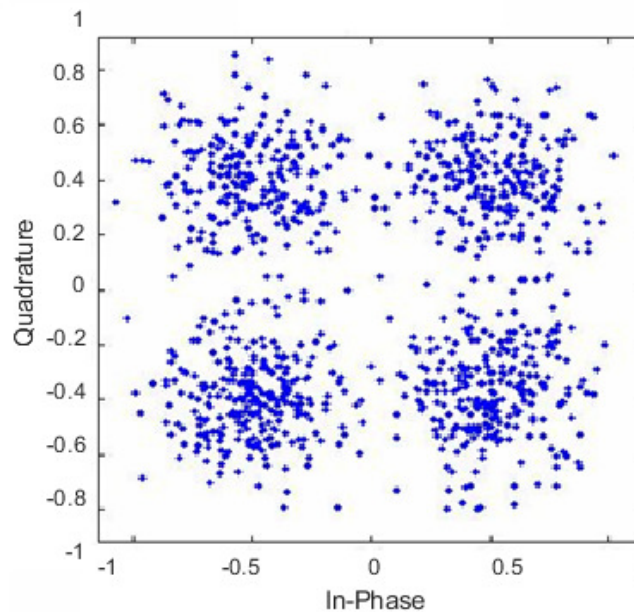
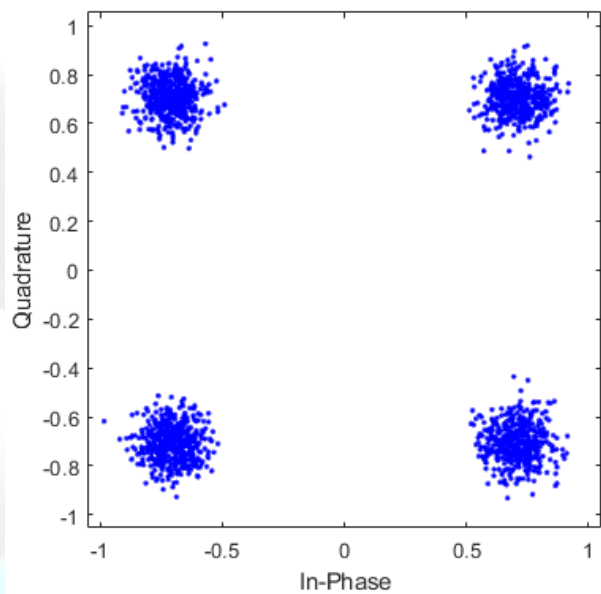
# Επίδραση Θορύβου στον Αστερισμό



Επίδραση του θορύβου σε σύμβολα του αστερισμού QPSK



# Constellation-Noise Example



# Αναπαράσταση του Θορύβου

Όπως είδαμε το σύνολο των σημάτων  $\{s_1(t), s_2(t)\}$  χρησιμοποιείται για να μεταδοθούν δυαδικά δεδομένα και χρειάζονται 2 ορθοκανονικές συναρτήσεις για να αναπαρασταθούν ακριβώς.

Σε αντίθεση για να αναπαραστήσουμε ένα τυχαίο σήμα θορύβου  $\mathbf{w}(t)$ , στο χρονικό διάστημα  $[(k-1)T_b, kT_b]$  το διάστημα ενός bit  $\mathbf{b}_k$

Χρειαζόμαστε ένα **πλήρες ορθοκανονικό σύνολο από ντετερμινιστικές συναρτήσεις**.

Η αναπαράσταση του θορύβου δίνεται από την παρακάτω σειρά:

$$\mathbf{w}(t) = \sum_{i=1}^{\infty} w_i \phi_i(t),$$

$$w_i = \int_0^{T_b} \mathbf{w}(t) \phi_i(t) dt$$

Οι συντελεστές  $w_i$  είναι τυχαίες μεταβλητές και το να καταλάβουμε τις στατιστικές ιδιότητες τους είναι απολύτως απαραίτητο για να αναπτύξουμε τον βέλτιστο δέκτη.



# Αναπαράσταση του Θορύβου

Όταν ο θόρυβος  $w(t)$  είναι μηδενικής μέσης τιμής τότε ισχύουν :

$$E\{w_i\} = E\left\{\int_0^{T_b} w(t)\phi_i(t)dt\right\} = \int_0^{T_b} E\{w(t)\}\phi_i(t)dt = 0.$$
$$E\{w_i w_j\} = E\left\{\int_0^{T_b} d\lambda w(\lambda)\phi_i(\lambda) \int_0^{T_b} d\tau w(\tau)\phi_j(\tau)\right\} =$$
$$\begin{cases} \frac{N_0}{2}, & i = j \\ 0, & i \neq j \end{cases}.$$

Οι  $\{w_1, w_2, \dots\}$  είναι τυχαίες μεταβλητές μηδενικής μέσης τιμής και ασυσχέτιστες.

Εάν ο θόρυβος  $w(t)$  είναι και Gaussian εκτός από μηδενικής τιμής και λευκός  $\Rightarrow$

Τότε οι  $\{w_1, w_2, \dots\}$  τυχαίες μεταβλητές είναι Gaussian και στατιστικά ανεξάρτητες.

Οι παραπάνω ιδιότητες δεν εξαρτώνται με το πώς επιλέγονται οι  $\{\phi_i(t), i = 1, 2, \dots\}$ .

Επιλέγουμε τις δύο πρώτες συναρτήσεις  $\phi_1(t), \phi_2(t)$  για να αναπαραστήσουμε τα σήματα  $s_1(t), s_2(t)$  ακριβώς.

Οι υπόλοιπες συναρτήσεις π.χ.  $\phi_3(t), \phi_4(t), \dots$ , απλώς επιλέγονται για να συμπληρώσουν το σύνολο. αλλά δεν χρειάζονται να βρεθούν.

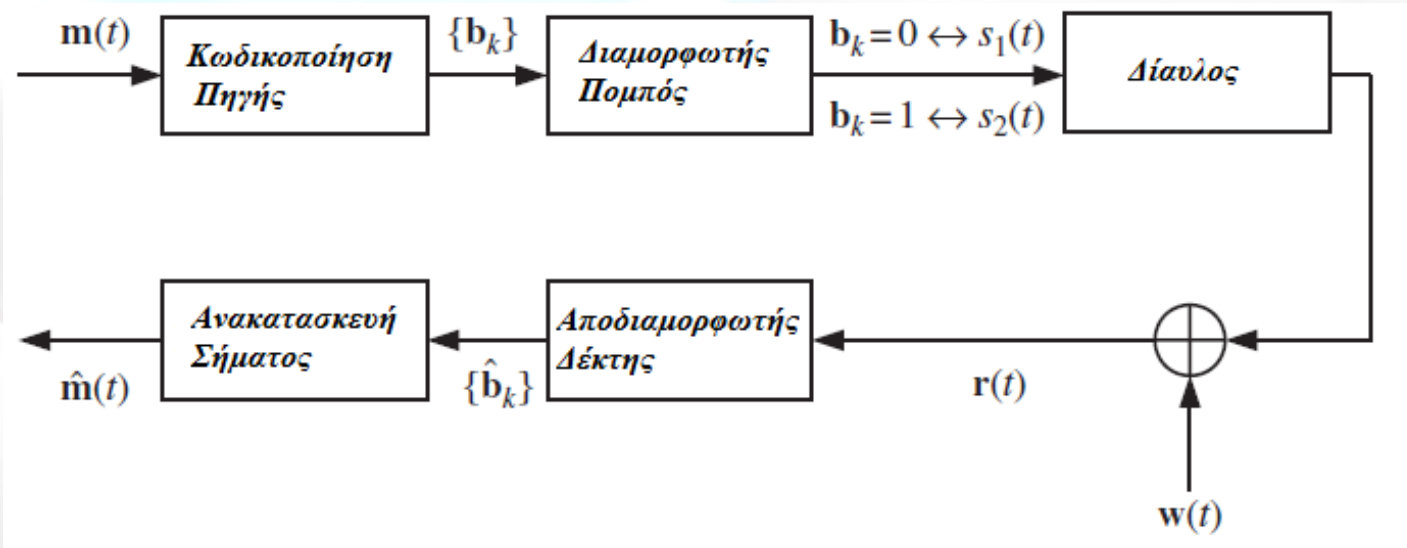


# Ανεξαρτησια και συσχέτιση

- Δυο στοχαστικές διαδικασίες  $X(t)$  και  $Y(t)$  είναι **ανεξάρτητες** αν για όλα τα ζεύγη  $t_1$  και  $t_2$ , οι τυχαίες μεταβλητές  $X(t_1)$  και  $Y(t_2)$  είναι **ανεξάρτητες**. Ομοίως ορίζονται και οι **ασυσχέτιστες σ.δ.**
- Οι τυχαίες μεταβλητές  $X$  και  $Y$  είναι **ανεξάρτητες** αν  $f_{XY}(x,y) = f_X(x)f_Y(y)$ , και
- **ασυσχέτιστες** αν  $COV(X,Y) = E[XY] - m_X m_Y = 0$
- **Παρατήρηση:** αν οι  $X$  και  $Y$  είναι ανεξάρτητες τότε είναι και ασυσχέτιστες δηλαδή έχουν  $COV(X,Y) = 0$ .
- Το αντίστροφο δεν ισχύει εν γενεί πάρα μόνο για Gaussian r.v



# Block Διάγραμμα Δυαδικού Ψηφιακού Συστήματος Επικοινωνιών



Τα Bits σε δύο διαφορετικές χρονικές σχισμές είναι στατιστικά ανεξάρτητα.

$$P[b_k = 0] = P_1, \quad P[b_k = 1] = P_2.$$

$$b_k = 0 \leftrightarrow s_1(t)$$

$$b_k = 1 \leftrightarrow s_2(t)$$

$$E\{w(t)\} = 0, \quad E\{w(t)w(t + \tau)\} = \frac{N_0}{2}\delta(\tau)$$

$$E_1 = \int_0^{T_b} s_1^2(t) dt \text{ (joules)}, \quad E_1 < \infty,$$

$$E_2 = \int_0^{T_b} s_2^2(t) dt \text{ (joules)}, \quad E_2 < \infty.$$

Οι κυματομορφές είναι τυχαίες άλλα γνωστές στο δέκτη. Ο διάυλος είναι αρκετά ευρυζωνικός ώστε να περάσουν τα σήματα χωρίς παραμόρφωση. Δεν υπάρχει διασυμβολική παρεμβολή μεταξύ των ψηφίων.



# Βέλτιστος Δέκτης Ι

$$\begin{aligned}
 r(t) &= s_i(t) + w(t), \quad 0 \leq t \leq T_b \\
 &= \begin{cases} s_1(t) + w(t), & \text{if a "0" is transmitted} \\ s_2(t) + w(t), & \text{if a "1" is transmitted} \end{cases} \\
 &= \underbrace{[s_{i1}\phi_1(t) + s_{i2}\phi_2(t)]}_{s_i(t)} \\
 &\quad + \underbrace{[w_1\phi_1(t) + w_2\phi_2(t) + w_3\phi_3(t) + w_4\phi_4(t) + \dots]}_{w(t)} \\
 &= (s_{i1} + w_1)\phi_1(t) + (s_{i2} + w_2)\phi_2(t) + w_3\phi_3(t) + w_4\phi_4(t) + \dots \\
 &= r_1\phi_1(t) + r_2\phi_2(t) + r_3\phi_3(t) + r_4\phi_4(t) + \dots
 \end{aligned}$$

Ξέρουμε ακριβώς ποτέ  
το χρονικό διάστημα  
ξεκινάει  
Ο Δέκτης είναι  
ΣΥΓΧΡΟΝΙΣΜΕΝΟΣ  
Με τον Πομπό.

$$r_j = \int_0^{T_b} r(t)\phi_j(t)dt,$$

$$\begin{aligned}
 r_1 &= s_{i1} + w_1 \\
 r_2 &= s_{i2} + w_2 \\
 r_3 &= w_3 \\
 r_4 &= w_4 \\
 &\vdots
 \end{aligned}$$

Τα  $r_j$ , για  $j = 3, 4, 5, \dots$ , δεν εξαρτώνται από το σύμβολο που μεταδόθηκε.

Η απόφαση μπορεί να βασιστεί σε παρατήρηση των  $r_1, r_2, r_3, r_4, \dots$

Ο στόχος είναι minimize (ελαχιστοποιήσουμε)  
Την πιθανότητα εσφαλμένου ψηφίου  
Bit error probability (BEP).





# Βέλτιστος Δέκτης I.1

- Στόχος μας είναι να ελαχιστοποιήσουμε) την πιθανότητα εσφαλμένου ψηφίου

Bit Error probability (BER).

- Η πιθανότητα να κάνω λάθος μπορεί να εκφραστεί:

$$P[Error] = P\left[("0" \text{ decided AND } "1" \text{ transmitted}) \text{ OR } ("1" \text{ decided AND } "0" \text{ transmitted})\right]$$



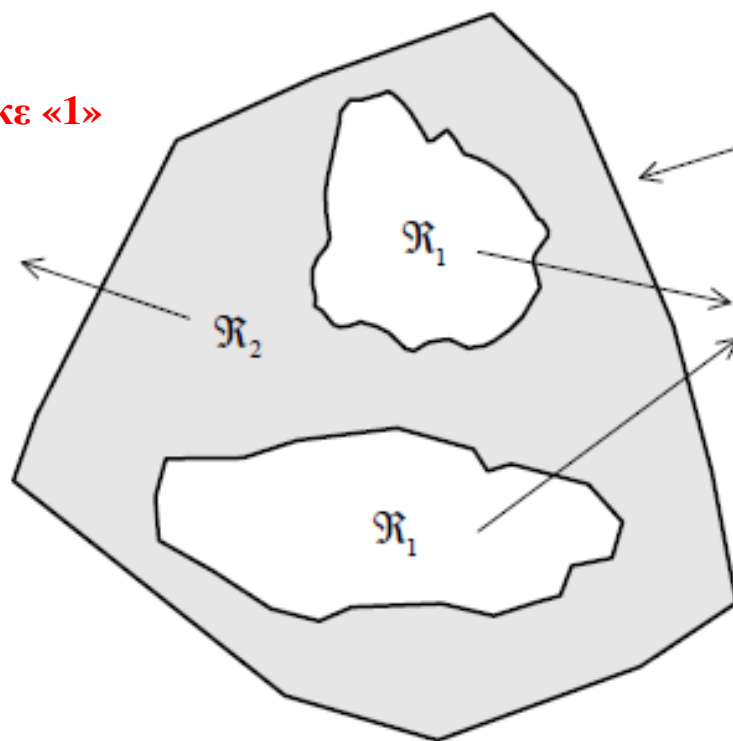


# Βέλτιστος Δέκτης ΙΙ

Θεωρούμε τους πρώτους  $n$  όρους  $\tilde{r} = \{r_1, r_2, \dots, r_n\} \Rightarrow$  μπορεί να είναι μεγάλος αριθμός  $n$ .

Πρέπει να διαχωριστεί ο χώρος  $n$  σε περιοχές απόφασης.

Αποφασίζω ότι **μεταδόθηκε «1»**  
εάν το  $r$  πέφτει μέσα  
στην περιοχή  $R_2$



Χώρος Παρατήρησης –  
Observation Space

Αποφασίζω ότι **μεταδόθηκε «0»**  
εάν το  $r$  πέφτει μέσα στην περιοχή  $R_1$ .

$$P[0_D|1_T] = \int_{R_1} f(\vec{r}|1_T) d\vec{r}$$

# Βέλτιστος Δέκτης ΙΙΙ

$P[\text{error}] = P[(\text{"0" decided and "1" transmitted}) \cup (\text{"1" decided and "0" transmitted})]$

$$= P[0_D, 1_T] + P[1_D, 0_T]$$

$$= P[0_D|1_T]P[1_T] + P[1_D|0_T]P[0_T]$$

$$= P_2 \int_{\mathcal{R}_1} f(\vec{r}|1_T) d\vec{r} + P_1 \int_{\mathcal{R}_2} f(\vec{r}|0_T) d\vec{r}$$

$$= P_2 \int_{\mathcal{R}-\mathcal{R}_2} f(\vec{r}|1_T) d\vec{r} + P_1 \int_{\mathcal{R}_2} f(\vec{r}|0_T) d\vec{r}$$

$$= P_2 \int_{\mathcal{R}} f(\vec{r}|1_T) d\vec{r} + \int_{\mathcal{R}_2} [P_1 f(\vec{r}|0_T) - P_2 f(\vec{r}|1_T)] d\vec{r}$$

$$= P_2 + \int_{\mathcal{R}_2} [P_1 f(\vec{r}|0_T) - P_2 f(\vec{r}|1_T)] d\vec{r}.$$

**Αλληλοαποκλειόμενα  
Ενδεχόμενα  
Bayes/Conditional  
Probability**

$$P[0_T] = P_1 \quad P[1_T] = P_2$$

Περιοχή  $\mathcal{R}_2$ : Decide «1»

στην περιοχή  $\mathcal{R}_1$   $\begin{cases} P_1 f(\vec{r}|0_T) - P_2 f(\vec{r}|1_T) \geq 0 \Rightarrow \text{decide "0"} (0_D) \\ P_1 f(\vec{r}|0_T) - P_2 f(\vec{r}|1_T) < 0 \Rightarrow \text{decide "1"} (1_D) \end{cases}$   
στην περιοχή  $\mathcal{R}_2$



# Βέλτιστος Δέκτης IV

**Το λάθος εξαρτάται προφανώς από το πώς χωρίζονται οι περιοχές παρατήρησης.**

Ο κανόνας που κάνει minimum την πιθανότητα λάθους μπορεί να εκφραστεί ως εξής: "

$$\begin{cases} P_1 f(\vec{r}|0_T) - P_2 f(\vec{r}|1_T) \geq 0 & \Rightarrow \text{decide "0"} (0_D) \\ P_1 f(\vec{r}|0_T) - P_2 f(\vec{r}|1_T) < 0 & \Rightarrow \text{decide "1"} (1_D) \end{cases}$$

Ισοδύναμα :

$$\frac{f(\vec{r}|1_T)}{f(\vec{r}|0_T)} \underset{0_D}{\overset{1_D}{\gtrless}} \frac{P_1}{P_2}.$$

$$P[0_T] = P_1 \quad P[1_T] = P_2$$

Η έκφραση  $\frac{f(\vec{r}|1_T)}{f(\vec{r}|0_T)}$  ονομάζεται **Λόγος Πιθανοφάνειας**  
**Likelihood Ratio.**

**Σημείωση:** Δεν καθορίσαμε ακόμα καθόλου τις στατιστικές παραμέτρους της διαδικασίας του θορύβου.



# Βέλτιστος Δέκτης V

Ο Δέκτης **πραγματοποιεί τη διαδικασία υπολογισμού** και συγκρίνει με το αποτέλεσμα με ένα κατώφλι **που έχει a priori υπολογισμένες τις πιθανότητες.**

Ο κανόνας απόφασης μπορεί να απλοποιηθεί θεωρώντας θόρυβο μηδενικής μέσης τιμής, λευκό και Gaussian. Σε αυτή την περίπτωση οι μετρούμενες

**τιμές  $r_i$  είναι ανεξάρτητες Γκαουσιανές τυχαίες μεταβλητές.**

Οι υπό συνθήκες συναρτήσεις πυκνότητας πιθανότητας είναι τα γινόμενα των επιμέρους pdfs.

$$f(\vec{r}|1_T) = f(r_1|1_T)f(r_2|1_T)f(r_3|1_T) \cdots f(r_j|1_T) \cdots ,$$

$$f(\vec{r}|0_T) = f(r_1|0_T)f(r_2|0_T)f(r_3|0_T) \cdots f(r_j|0_T) \cdots$$

$$f(\vec{r}|1_T) = \frac{1}{\sqrt{\pi N_0}} \exp \left[ -\frac{(r_1 - s_{21})^2}{N_0} \right] \frac{1}{\sqrt{\pi N_0}} \exp \left[ -\frac{(r_2 - s_{22})^2}{N_0} \right] \\ \times f(r_3|1_T) \cdots$$

$$f(\vec{r}|0_T) = \frac{1}{\sqrt{\pi N_0}} \exp \left[ -\frac{(r_1 - s_{11})^2}{N_0} \right] \frac{1}{\sqrt{\pi N_0}} \exp \left[ -\frac{(r_2 - s_{12})^2}{N_0} \right] \\ \times f(r_3|0_T) \cdots$$

Οι μέσες τιμές  
ή προσδοκητές  
των δύο  
coefficients  
 $r_1$  &  $r_2$  είναι

$(s_{11}, s_{12})$

$(s_{21}, s_{22})$ .



# Βέλτιστος Δέκτης VI

Ο Κανόνας απόφασης γίνεται:

$$\frac{\exp \left[ -(r_1 - s_{21})^2 / N_0 \right] \exp \left[ -(r_2 - s_{22})^2 / N_0 \right]}{\exp \left[ -(r_1 - s_{11})^2 / N_0 \right] \exp \left[ -(r_2 - s_{12})^2 / N_0 \right]} \underset{0_D}{\overset{1_D}{\gtrless}} \frac{P_1}{P_2}.$$

$$\mathbf{b}_k = 0 \leftrightarrow s_1(t)$$

$$\mathbf{b}_k = 1 \leftrightarrow s_2(t)$$

$$(r_1 - s_{11})^2 + (r_2 - s_{12})^2 \underset{0_D}{\overset{1_D}{\gtrless}} (r_1 - s_{21})^2 + (r_2 - s_{22})^2 + N_0 \ln \left( \frac{P_1}{P_2} \right)$$

Ο κανόνας έχει μια ενδιαφέρουσα γεωμετρική εξήγηση :

Η ποσότητα  $(r_1 - s_{11})^2 + (r_2 - s_{12})^2$  είναι η απόσταση στο τετράγωνο από την προβολή  $(r_1, r_2)$  του ληφθέντος σήματος σε αυτό που μεταδόθηκε  $s_1(t)$ .

Ομοίως  $(r_1 - s_{21})^2 + (r_2 - s_{22})^2$  είναι η απόσταση στο τετράγωνο του  $(r_1, r_2)$  από το  $s_2(t)$ .

Για την ειδική περίπτωση όπου  $P_1 = P_2$  (τα σήματα είναι ισοπίθανα) τότε:

$$(r_1 - s_{11})^2 + (r_2 - s_{12})^2 \underset{0_D}{\overset{1_D}{\gtrless}} (r_1 - s_{21})^2 + (r_2 - s_{22})^2.$$

$\Rightarrow$  *minimum-distance receiver!*

Δέκτης Ελάχιστης Απόστασης

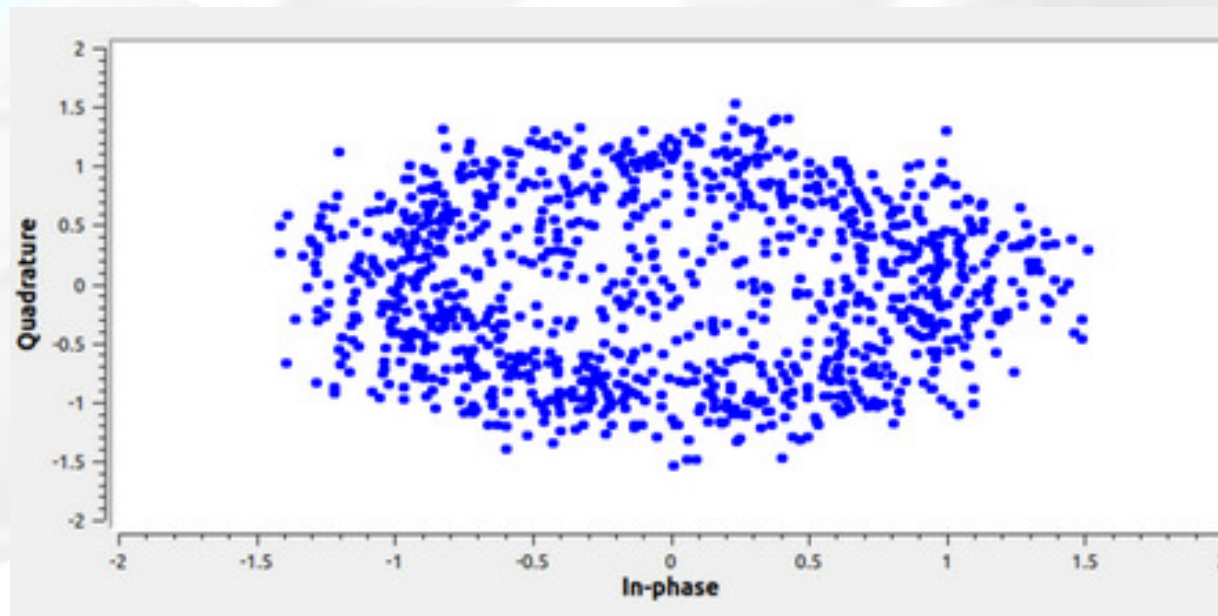
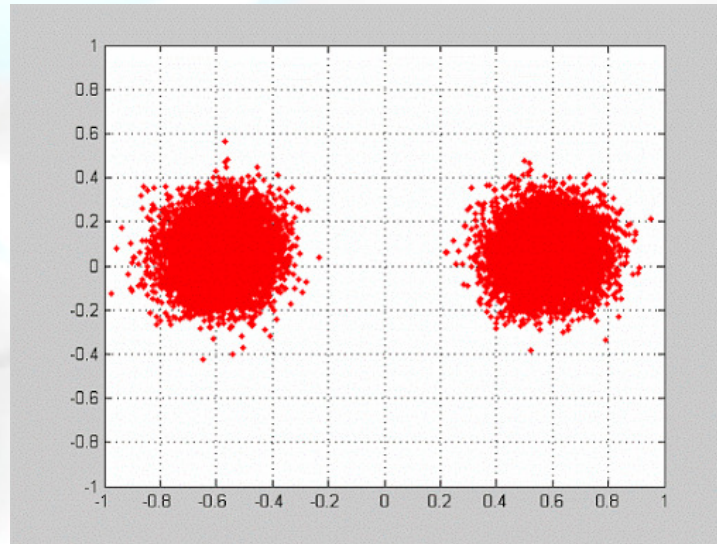
Στην ουσία ο κανόνας λέει ότι ο βέλτιστος δέκτης χρειάζεται να καθορίσει την απόσταση του  $\mathbf{r}(t)$

Και από τις δύο κυματομορφές  $s_1(t)$  και  $s_2(t)$  και να επιλέξει το σήμα που είναι πιο κοντά στο  $\mathbf{r}(t)$ .





# Constellation BPSK with noise



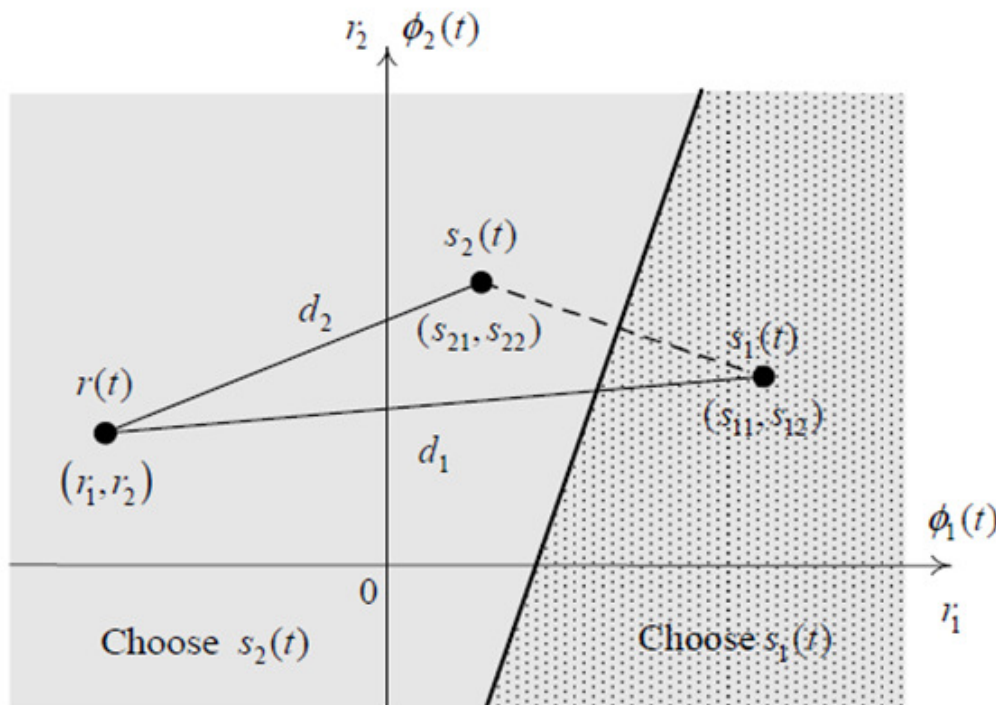
# Βέλτιστος Δέκτης VII

$$P_1 \neq P_2$$

$$P[0_T] = P_1 \quad P[1_T] = P_2$$

$$\mathbf{b}_k = 0 \leftrightarrow s_1(t)$$

$$\mathbf{b}_k = 1 \leftrightarrow s_2(t)$$



Οι περιοχές απόφασης  
Καθορίζονται από μια γραμμή  
κάθετη στη γραμμή που ενώνει  
τα δύο σήματα  
 $\{s_1(t), s_2(t)\}$ ,

Η γραμμή ολισθαίνει

- προς  $s_2(t)$  εάν  $P_1 > P_2$

Μεγαλύτερη πιθανότητα για 0  $\rightarrow s_1(t)$

Άρα επειδή θέλω να μειώσω το BER

Αυξάνω την περιοχή επιλογής του 0

Πάω πιο κοντά στο 1  $\rightarrow s_2(t)$

ή

- προς  $s_1(t)$  (εάν  $P_1 < P_2$ ).

**Μεγαλύτερη πιθανότητα για 1**

$$P[Error] = P_1 \cdot P_{e0} + P_2 P_{e1}$$





## Κανόνας Απόφασης Μέγιστης μέτα-πιθανότητας MAP (Maximum a-posteriori Probability)

- Υποθέτουμε ότι τα διανύσματα  $\{\mathbf{s}_1, \mathbf{s}_2, \dots, \mathbf{s}_M\}$  με τα οποία μεταδίδονται τα  $M$  διαφορετικά σύμβολα, εκπέμπονται με πιθανότητες  $\{p_1, p_2, \dots, p_M\}$  αντίστοιχα, και ότι λαμβάνεται το διάνυσμα  $\mathbf{r}$ .
- Η πιθανότητα σφάλματος ενός συμβόλου **ελαχιστοποιείται** αν στον δεκτή η εκτίμηση  $\hat{\mathbf{s}}$  είναι το διάνυσμα  $\mathbf{s}_m$  για το οποίο ισχύει:

$$\Pr[\mathbf{s}_m | \mathbf{r}] \geq \Pr[\mathbf{s}_i | \mathbf{r}], \forall m \neq i$$

(MAP receiver)

- Ισοδύναμα (Bayes)

$$\frac{p(\mathbf{r}|\mathbf{s}_m) \Pr(\mathbf{s}_m)}{p(\mathbf{r})} \geq \frac{p(\mathbf{r}|\mathbf{s}_i) \Pr(\mathbf{s}_i)}{p(\mathbf{r})}, \forall m \neq i$$

$$\acute{\eta} \quad p(\mathbf{r}|\mathbf{s}_m) \Pr(\mathbf{s}_m) \geq p(\mathbf{r}|\mathbf{s}_i) \Pr(\mathbf{s}_i), \forall m \neq i$$



# Κανόνας Απόφασης Μεγίστης Πιθανοφάνειας ML (Maximum Likelihood)

- Αν  $p_1=p_2=\dots=p_m=1/M$ , ή αν οι πιθανότητες εκπομπής των συμβολών είναι άγνωστες (οπότε υποτίθεται ίσες), τότε ο κανόνας MAP ισοδυναμεί με τον ML
- Η πιθανότητα σφάλματος ενός συμβόλου **ελαχιστοποιείται** αν επιλέξουμε ως εκπεμπόμενο σύμβολο το  $\mathbf{s}_m$  το οποίο ικανοποιεί την σχέση :

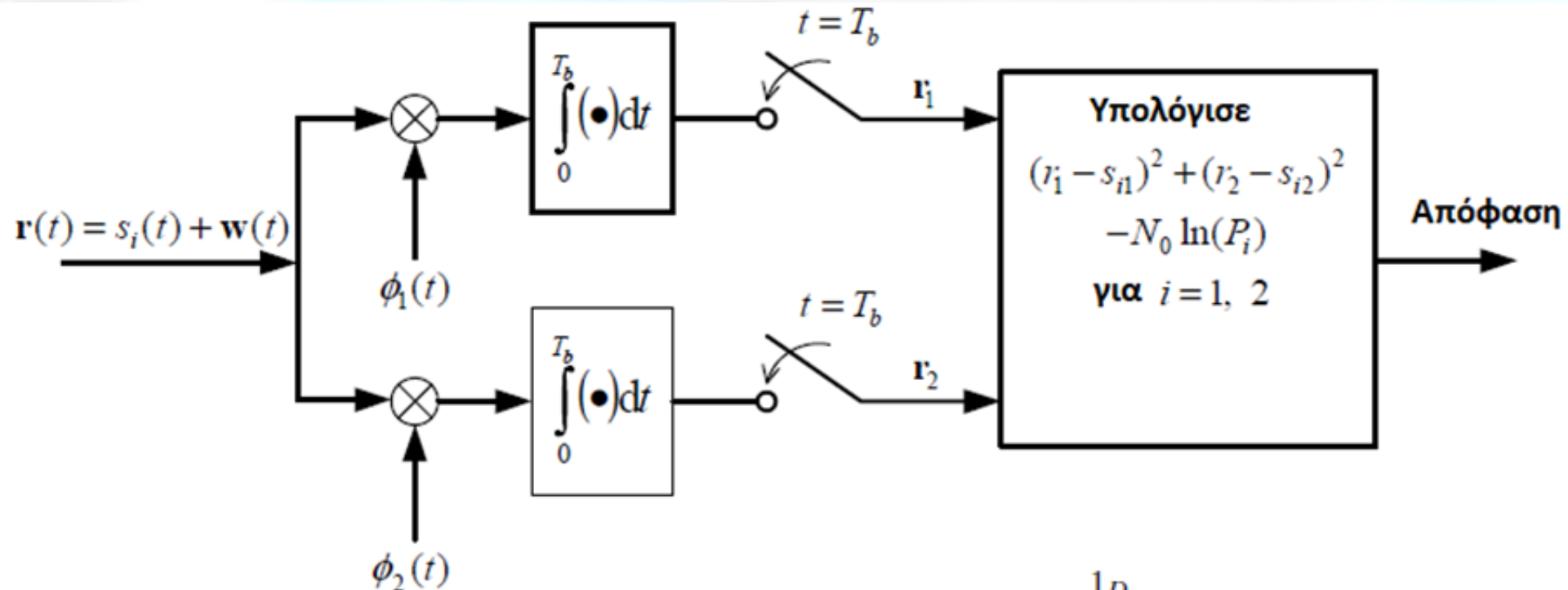
$$p(\mathbf{r}|\mathbf{s}_m) \geq p(\mathbf{r}|\mathbf{s}_i), \forall m \neq i.$$

**(Maximum Likelihood Receiver)**



# Βέλτιστος Δέκτης VIII

## Υλοποίηση Δέκτη Συσχέτισης



$$(r_1 - s_{11})^2 + (r_2 - s_{12})^2 - N_0 \ln P_1 \underset{0_D}{\overset{1_D}{\gtrless}} (r_1 - s_{21})^2 + (r_2 - s_{22})^2 - N_0 \ln P_2$$

Η διαδικασία πολλαπλασιασμού του  $r(t)$  με το  $\phi(t)$  και η ολοκλήρωση στη διάρκεια του bit είναι η **διαδικασία της συσχέτισης**.



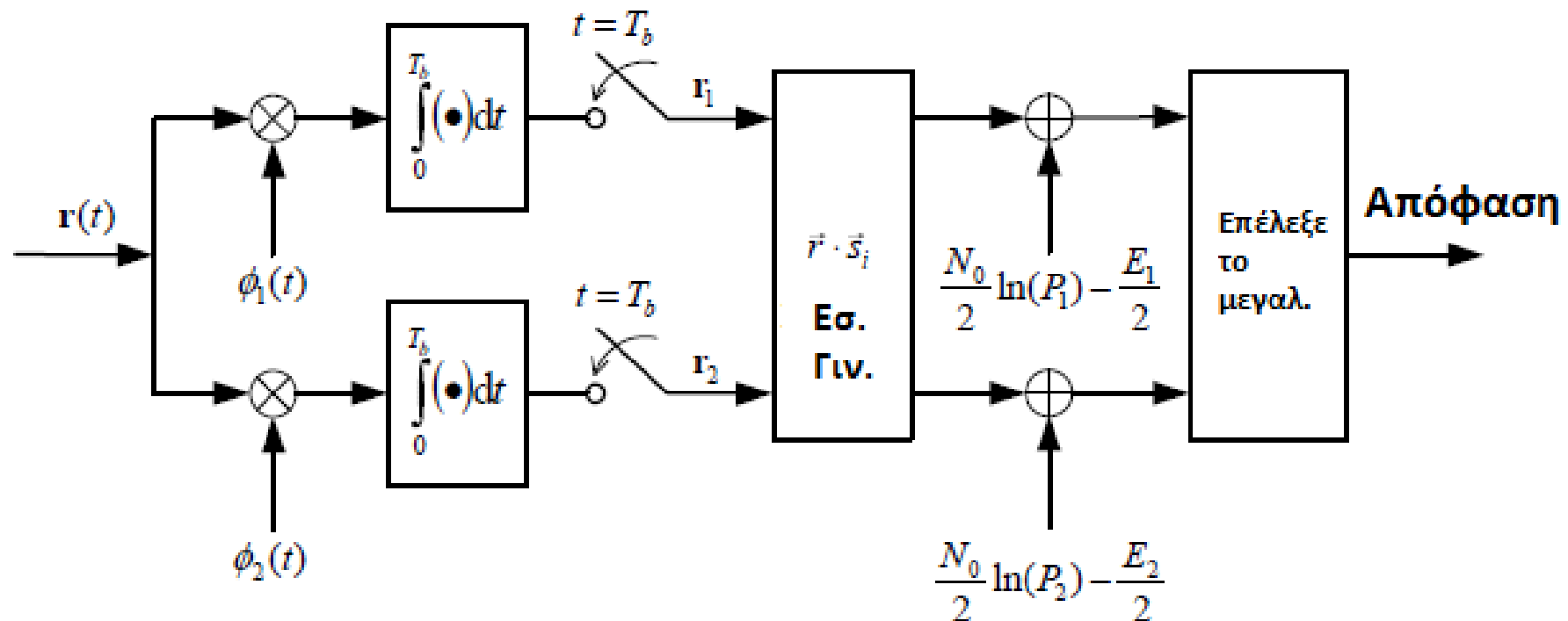
# Βέλτιστος Δέκτης ΙΧ

$$\begin{matrix} r_1^2 - 2r_1s_{11} + s_{11}^2 + r_2^2 \\ -2r_2s_{12} + s_{12}^2 - N_0 \ln P_1 \end{matrix} \begin{matrix} 1_D \\ \geq \\ 0_D \end{matrix} \begin{matrix} r_1^2 - 2r_1s_{21} + s_{21}^2 + r_2^2 \\ -2r_2s_{22} + s_{22}^2 - N_0 \ln P_2. \end{matrix}$$

$$E_1 = s_{11}^2 + s_{12}^2, E_2 = s_{21}^2 + s_{22}^2$$

$$r_1s_{21} + r_2s_{22} - \frac{E_2}{2} + \frac{N_0}{2} \ln P_2 \begin{matrix} 1_D \\ \geq \\ 0_D \end{matrix} r_1s_{11} + r_2s_{12} - \frac{E_1}{2} + \frac{N_0}{2} \ln P_1.$$

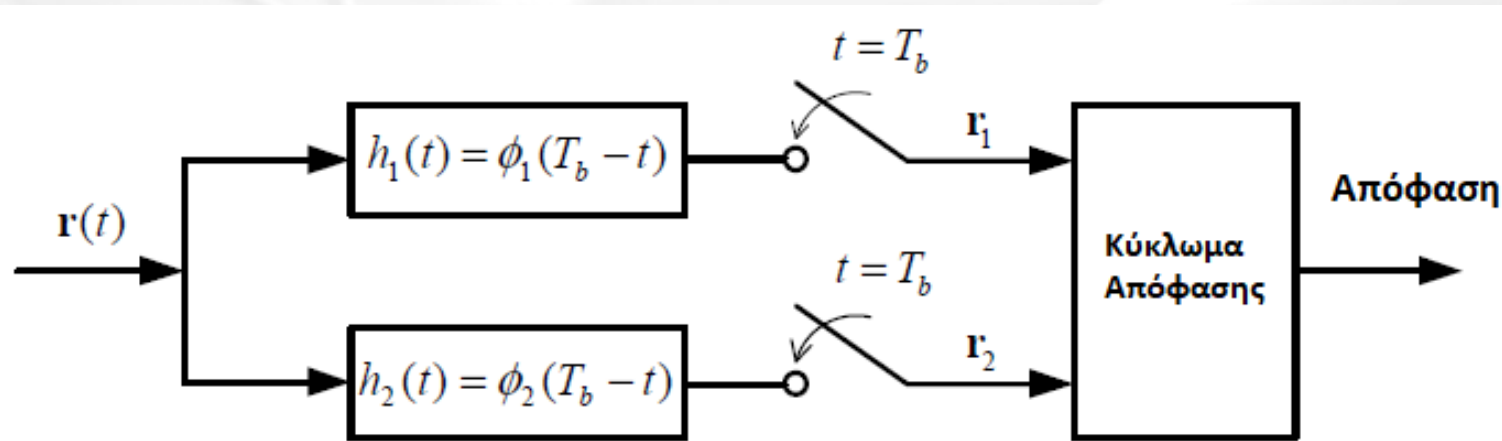
$$r_1s_{i1} + r_2s_{i2} = (r_1, r_2) \begin{pmatrix} s_{i2} \\ s_{i1} \end{pmatrix}$$



# Βέλτιστος Δέκτης X

Η συσχέτιση στο βέλτιστο δέκτη συμπεριλαμβάνει ένα πολλαπλασιαστή και έναν ολοκληρωτή. Οι πολλαπλασιαστές είναι δύσκολο να υλοποιηθούν. Είναι πολύπλοκα κυκλώματα.

Σαν εναλλακτική, ο Συσχετιστής μπορεί υλοποιηθεί με την κρουστική απόκριση ενός φίλτρου (**Προσαρμοσμένο Φίλτρο**)- **Matched Filter**



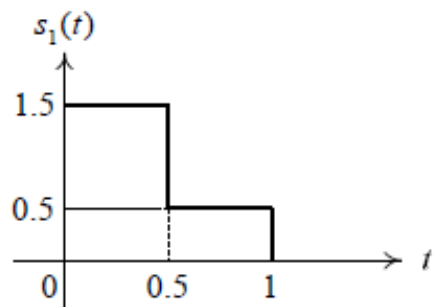
Το προσαρμοσμένο φίλτρο ορίζεται ως το φίλτρο το οποίο έχει κρουστική απόκριση το ίδιο το σήμα καθυστερημένο κατά τη διάρκεια του bit.  **$h(t) = \phi(T_b - t)$ .**

Η έξοδος του φίλτρου είναι η συνέλιξη της εισόδου με τη κρουστική απόκριση του προσαρμοσμένου φίλτρου.

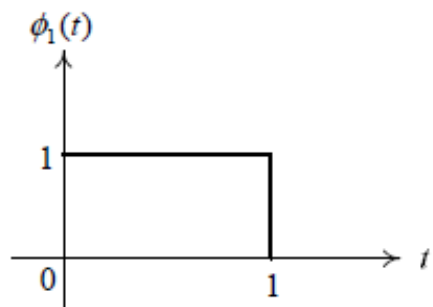
# Παραδείγματα Ι

Εδώ τα σήματα δεν έχουν την ίδια ενέργεια.

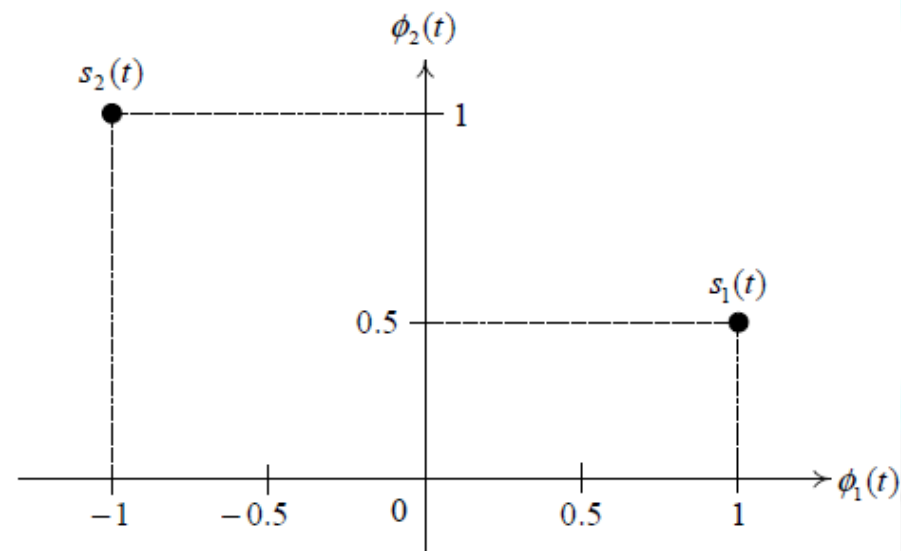
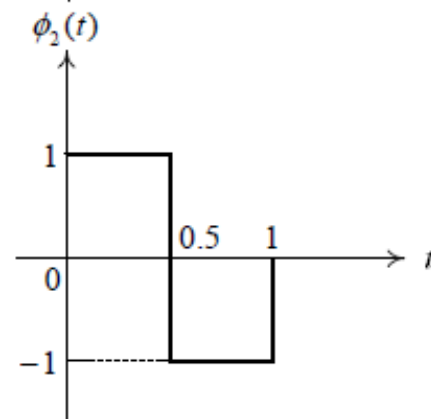
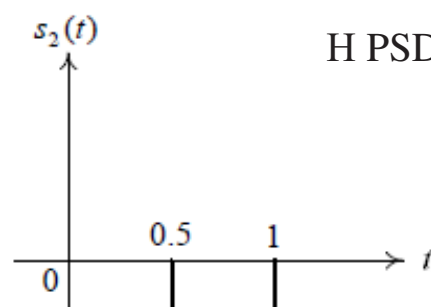
Η PSD του AWGN είναι  $N_0/2 = 0.5$  (watts/hertz).



(a)



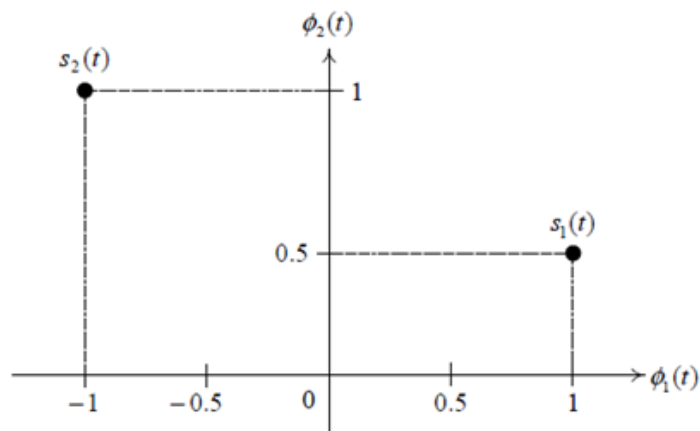
(b)



$$\begin{aligned} s_1(t) &= \phi_1(t) + \frac{1}{2}\phi_2(t), \\ s_2(t) &= -\phi_1(t) + \phi_2(t). \end{aligned}$$



# Παραδείγματα Ι



$$E_1 = \int_0^{T_b} s_1^2(t) dt = 1.25 \text{ (joules)}, \quad E_2 = \int_0^{T_b} s_2^2(t) dt = 2 \text{ (joules)}.$$

$$(r_1 - 1)^2 + (r_2 - \frac{1}{2})^2 \underset{0_D}{\overset{1_D}{\leq}} (r_1 + 1)^2 + (r_2 - 1)^2 + \ln \left( \frac{P_1}{P_2} \right)$$

$$-4r_1 + r_2 - \left( \frac{3}{4} + \ln \frac{P_1}{P_2} \right) \underset{0_D}{\overset{1_D}{\leq}} 0.$$

$$4r_1 - r_2 + \left( \frac{3}{4} + \ln \frac{P_1}{P_2} \right) = 0,$$

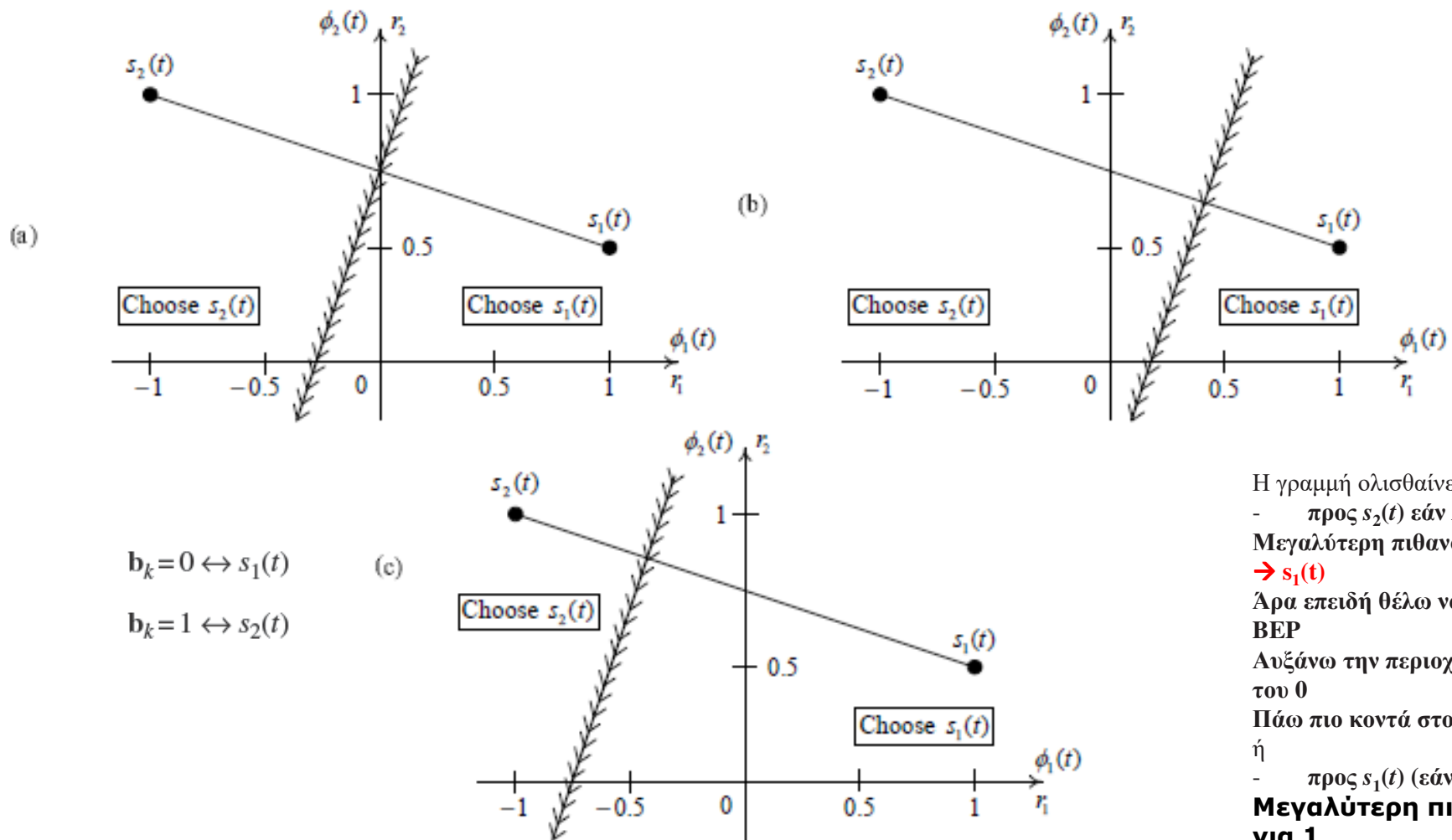
**ΟΡΙΟ ΠΕΡΙΟΧΩΝ**

**Ευθεία που ενώνει το  $s_1$  και το  $s_2$**

$$\frac{r_2 - s_{12}}{s_{22} - s_{12}} = \frac{r_1 - s_{11}}{s_{21} - s_{11}}, \quad r_2 = -\frac{1}{4}r_1 + \frac{3}{4}.$$



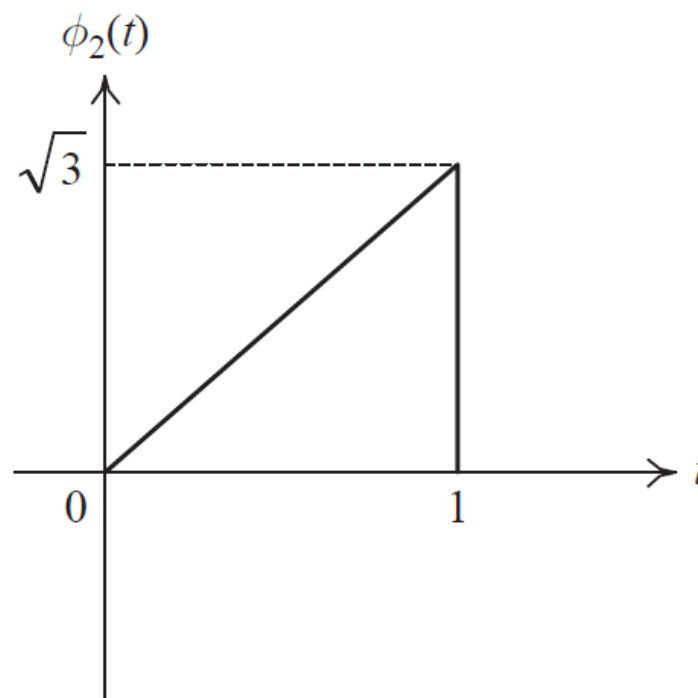
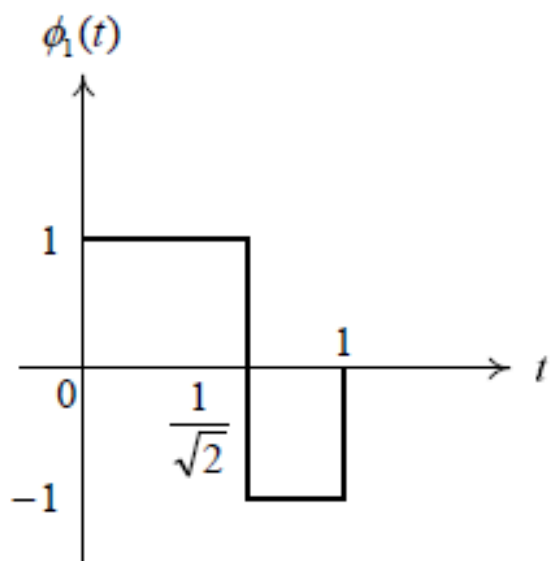
# Παραδείγματα Ι



# Παραδείγματα ΙΙ

$$s_2(t) = \phi_1(t) + \phi_2(t),$$

$$s_1(t) = \phi_1(t) - \phi_2(t).$$



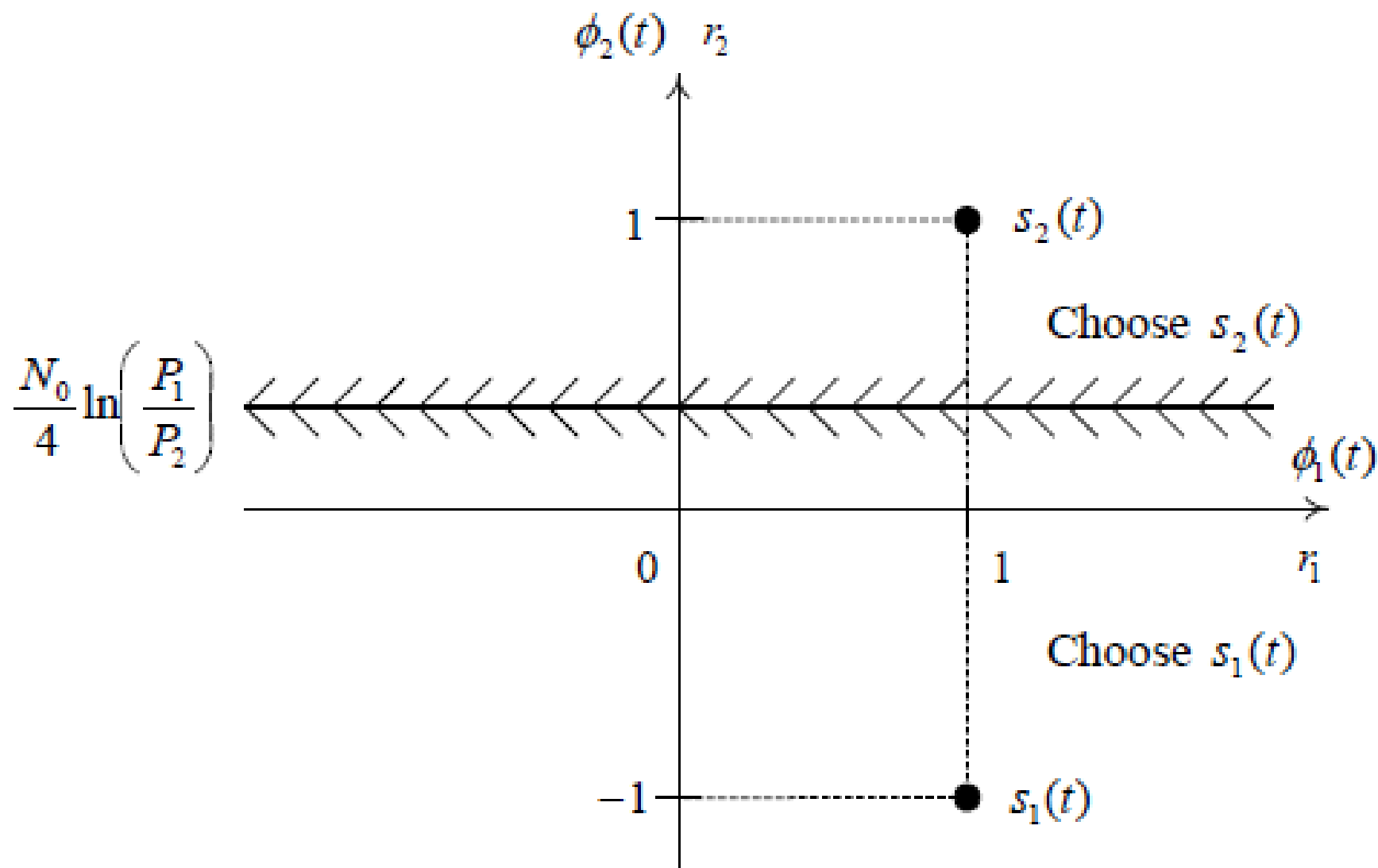
# Παραδείγματα ΙΙ

$$(r_1 - 1)^2 + (r_2 + 1)^2 - N_0 \ln P_1 \stackrel{1_D}{\sim} (r_1 - 1)^2 + (r_2 - 1)^2 - N_0 \ln P_2,$$

$$r_2 \stackrel{1_D}{\sim} \frac{N_0}{4} \ln \left( \frac{P_1}{P_2} \right).$$

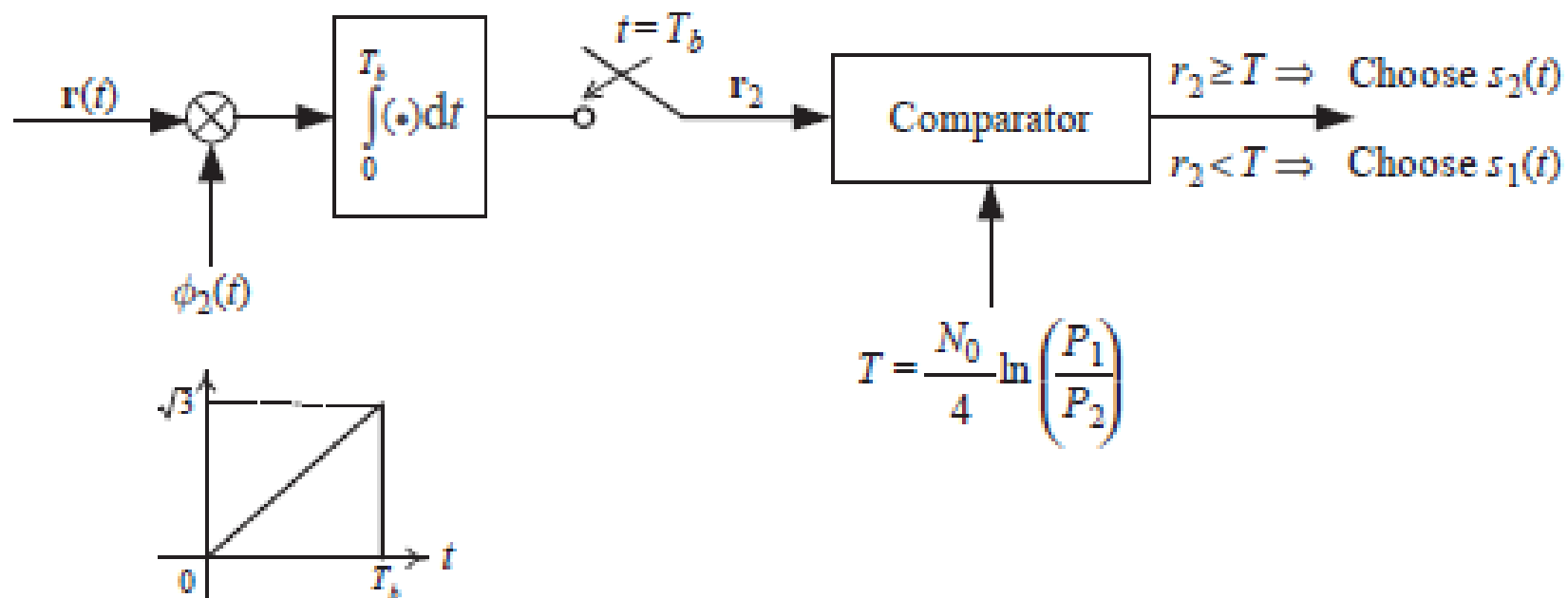
**ΟΡΙΟ ΠΕΡΙΟΧΩΝ**

# Παραδείγματα ΙΙ



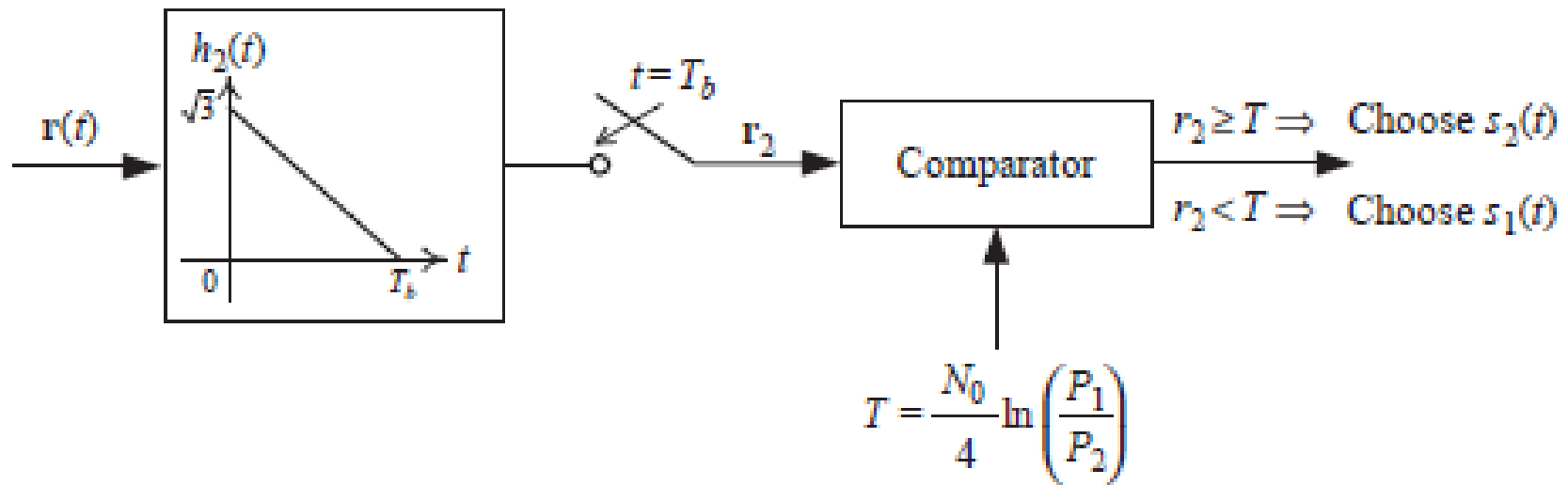
# Παραδείγματα ΙΙ

## Correlator Receiver/ Συσχετιστής Δέκτης



# Παραδείγματα ΙΙ

## Matched Filter Receiver/ Δέκτης Προσαρμοσμένου Φίλτρου



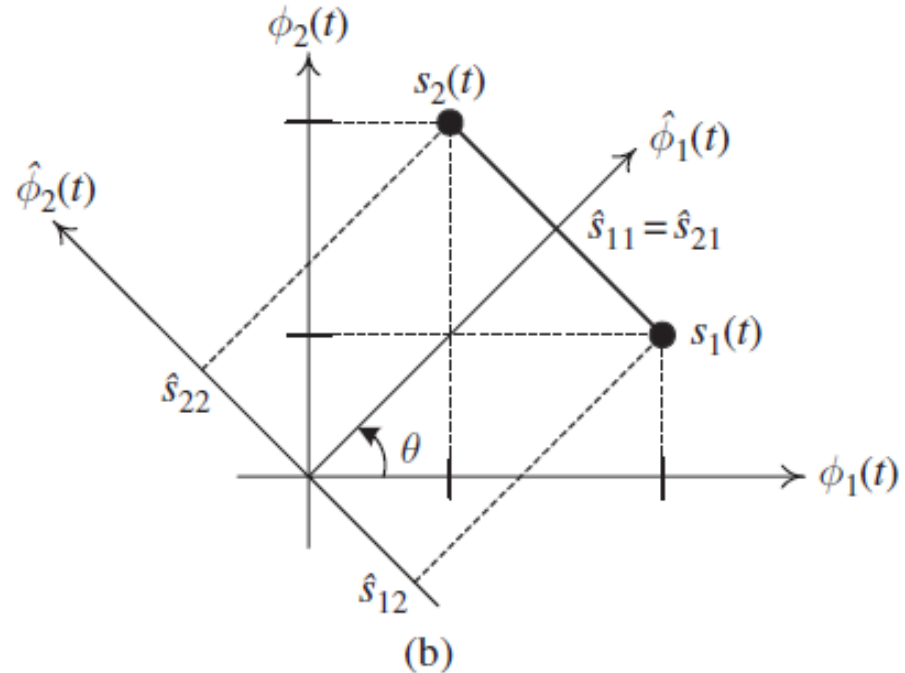
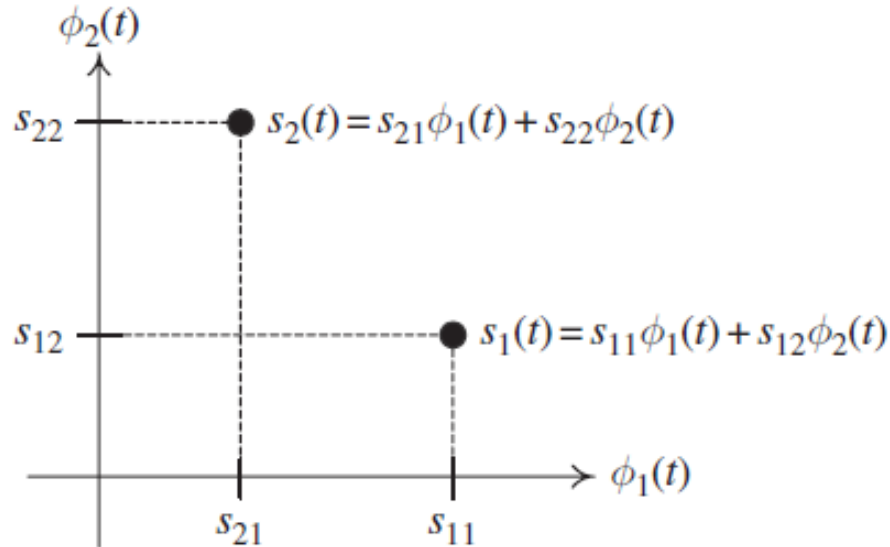


# Υλοποίηση Δέκτη με Ένα Συσχετιστή ή Ένα Προσαρμοσμένο Φίλτρο

Γενικά 2 τυχαία σήματα  $s_1(t)$  &  $s_2(t)$  χρειαζόμαστε την προβολή του ληφθέντος σήματος  $r(t)$  σε 2 συναρτήσεις βάσης. Αυτό σημαίνει ότι ο δέκτης θα υλοποιηθεί

2 συσχετιστές ή 2 προσαρμοσμένα φίλτρα.

Για **μετάδοση Δυαδικών Δεδομένων** όπου το μεταδιδόμενο σύμβολο αναπαρίσταται με 1 ή 2 σήματα, αυτή η απλοποίηση είναι **ΠΑΝΤΑ δυνατή** με μια συνετή επιλογή της ορθοκανονικής βάσης.



$$\begin{bmatrix} \hat{\phi}_1(t) \\ \hat{\phi}_2(t) \end{bmatrix} = \begin{bmatrix} \cos \theta & \sin \theta \\ -\sin \theta & \cos \theta \end{bmatrix} \begin{bmatrix} \phi_1(t) \\ \phi_2(t) \end{bmatrix}$$

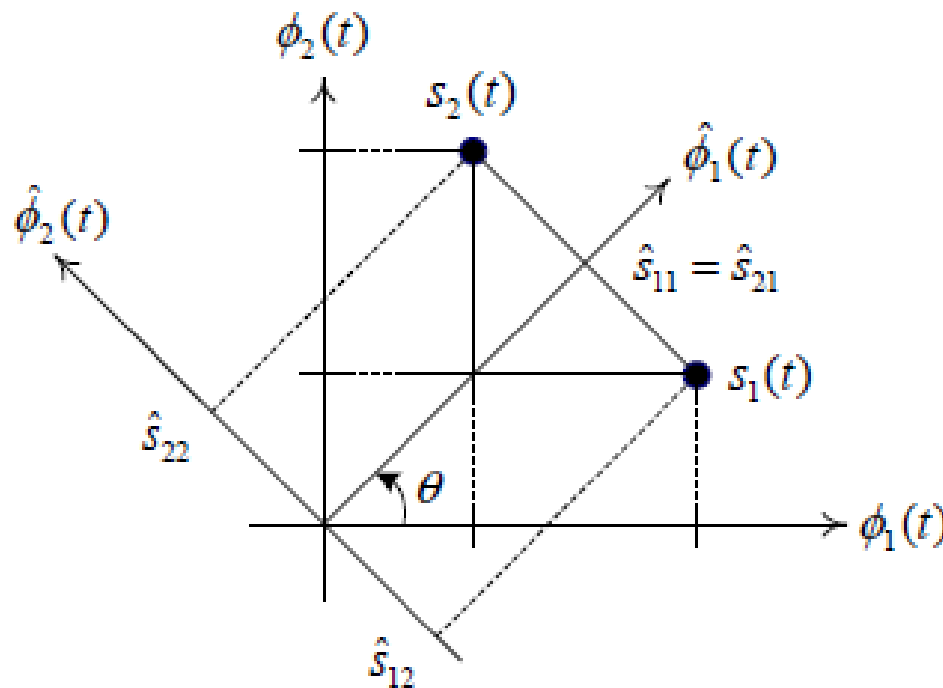
# Υλοποίηση Δέκτη με Ένα Συσχετιστή ή Ένα Προσαρμοσμένο Φίλτρο

Προβάλλουμε το ληφθέν σήμα  $\mathbf{r}(t) = s_i(t) + \mathbf{w}(t)$  πάνω στις ορθοκανονικές συναρτήσεις

βάσης  $\hat{\phi}_1(t)$  και  $\hat{\phi}_2(t)$

$$\hat{s}_{11} = \hat{s}_{21} \quad \hat{\phi}_1(t)$$

Οι προβολές των θορύβων είναι πάλι στατιστικά ανεξάρτητες μηδενικής μέσης τιμής υχαίας μεταβλητής Gauss με τυπική απόκλιση  $N_0/2$ .



# Υλοποίηση Δέκτη με Ένα Συσχετιστή ή Ένα Προσαρμοσμένο Φίλτρο

Λόγος Πιθανοφάνειας:

$$\frac{f(\hat{r}_1, \hat{r}_2, \hat{r}_3, \dots, |1_T)}{f(\hat{r}_1, \hat{r}_2, \hat{r}_3, \dots, |0_T)} = \frac{f(\hat{s}_{21} + \hat{w}_1)f(\hat{s}_{22} + \hat{w}_2)f(\hat{w}_3) \cdots}{f(\hat{s}_{11} + \hat{w}_1)f(\hat{s}_{12} + \hat{w}_2)f(\hat{w}_3) \cdots} \stackrel{1_D}{\underset{0_D}{\gtrless}} \frac{P_1}{P_2},$$

$$\frac{f(\hat{r}_2|1_T)}{f(\hat{r}_2|0_T)} = \frac{f(\hat{s}_{22} + \hat{w}_2)}{f(\hat{s}_{12} + \hat{w}_2)} \stackrel{1_D}{\underset{0_D}{\gtrless}} \frac{P_1}{P_2}, \quad \hat{s}_{11} = \hat{s}_{21}$$

$$\frac{(\pi N_0)^{-1/2} \exp[-(\hat{r}_2 - \hat{s}_{22})^2/N_0]}{(\pi N_0)^{-1/2} \exp[-(\hat{r}_2 - \hat{s}_{12})^2/N_0]} \stackrel{1_D}{\underset{0_D}{\gtrless}} \frac{P_1}{P_2}.$$

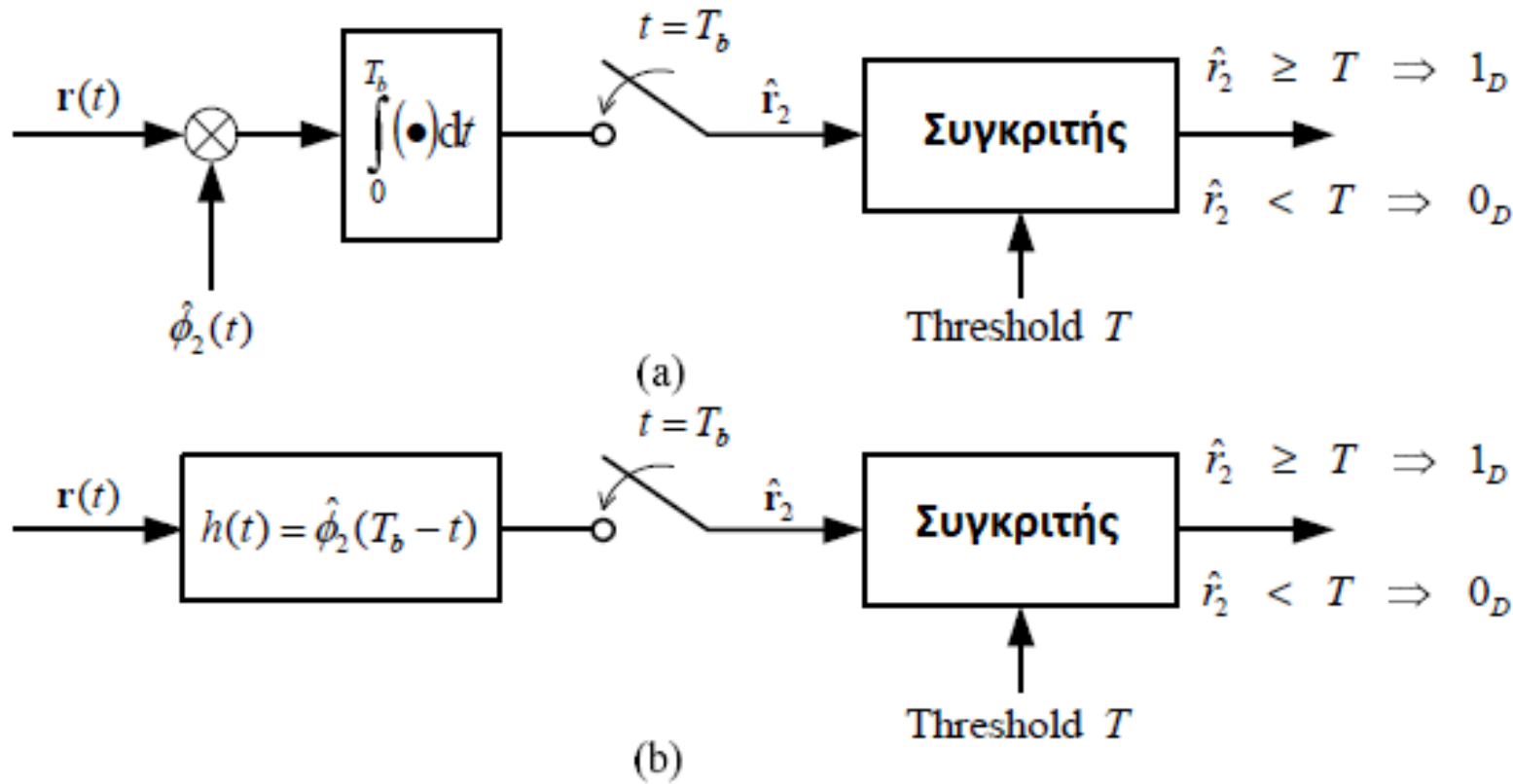
$$\hat{r}_2 \stackrel{1_D}{\underset{0_D}{\gtrless}} \frac{\hat{s}_{22} + \hat{s}_{12}}{2} + \left( \frac{N_0/2}{\hat{s}_{22} - \hat{s}_{12}} \right) \ln \left( \frac{P_1}{P_2} \right).$$

$$\text{Threshold} \equiv \frac{\hat{s}_{22} + \hat{s}_{12}}{2} + \left( \frac{N_0/2}{\hat{s}_{22} - \hat{s}_{12}} \right) \ln \left( \frac{P_1}{P_2} \right).$$



# Υλοποίηση Δέκτη με Ένα Συσχετιστή ή Ένα Προσαρμοσμένο Φίλτρο

$$\hat{\phi}_2(t) = \frac{s_2(t) - s_1(t)}{(E_2 - 2\rho\sqrt{E_1 E_2} + E_1)^{\frac{1}{2}}}, \quad T \equiv \frac{\hat{s}_{22} + \hat{s}_{12}}{2} + \left( \frac{N_0/2}{\hat{s}_{22} - \hat{s}_{12}} \right) \ln \left( \frac{P_1}{P_2} \right)$$

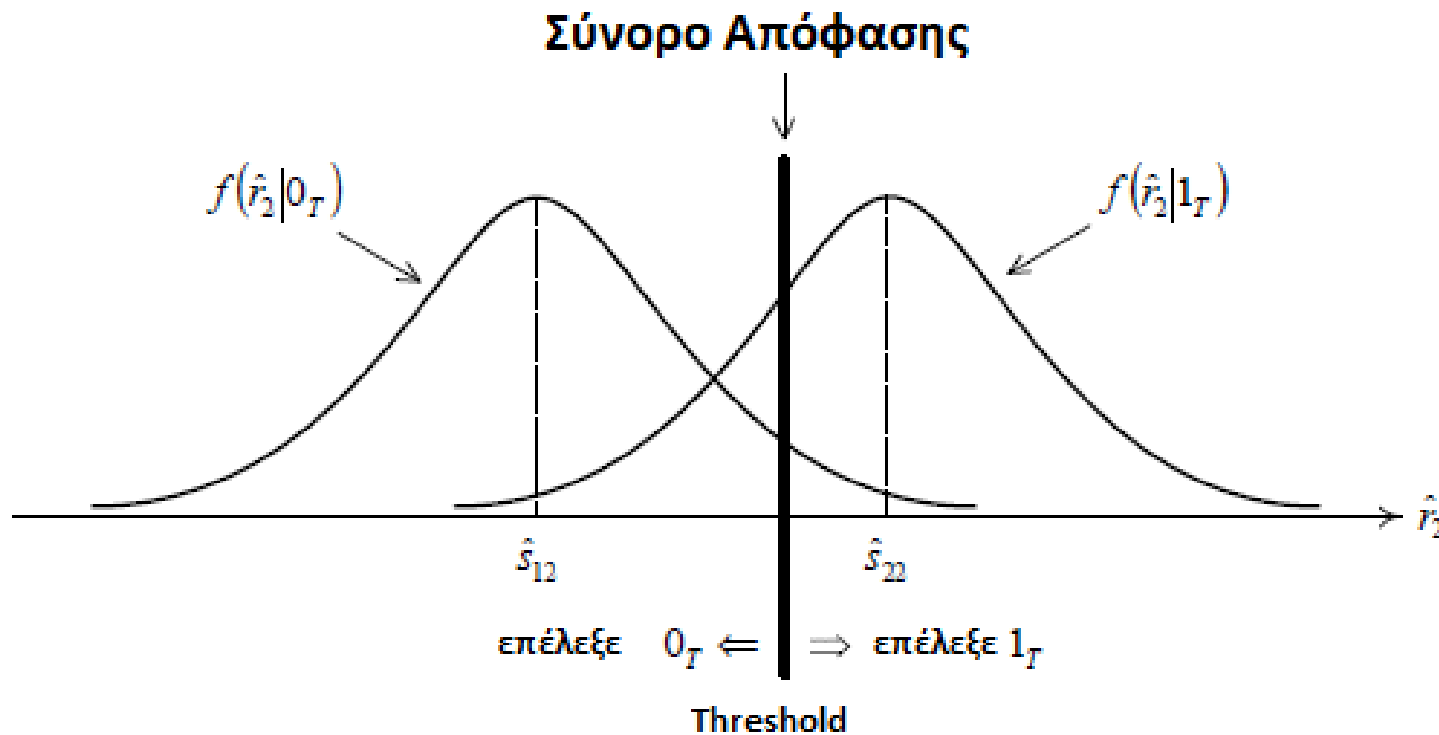


# Επίδοση Βέλτιστου Δέκτη

Για να αναγνωρίσεις το  $b_k$ , σύγκρινε το αποτέλεσμα της συσχέτισης:

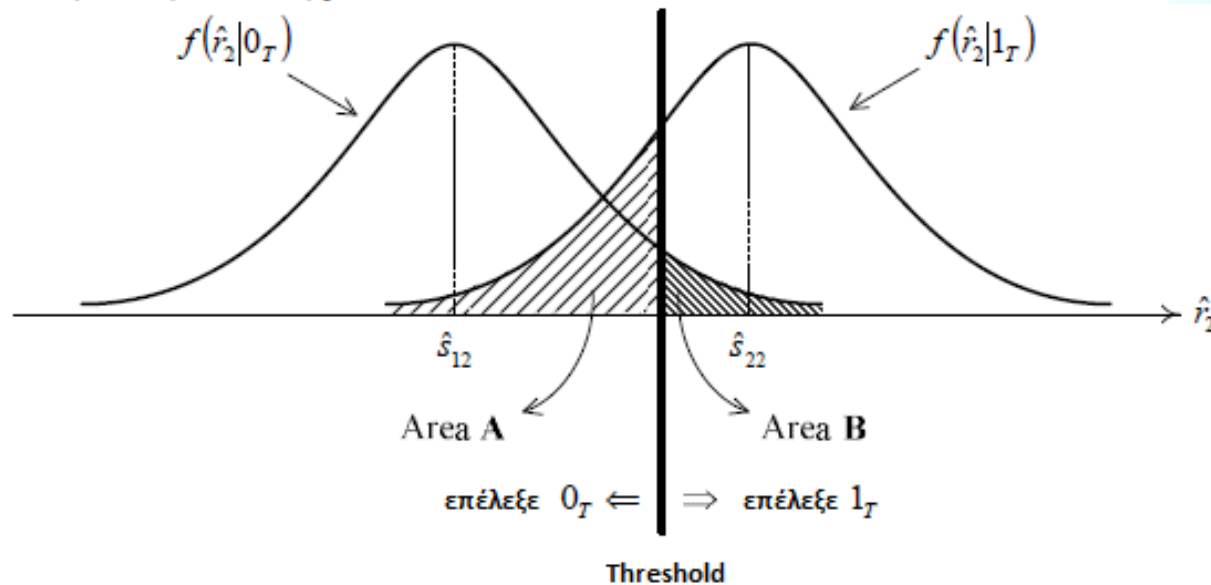
$$\hat{r}_2 = \int_{(k-1)T_b}^{kT_b} r(t) \hat{\phi}_2(t) dt$$

$$\text{Threshold} = \frac{\hat{s}_{12} + \hat{s}_{22}}{2} + \frac{N_0}{2(\hat{s}_{22} - \hat{s}_{12})} \ln \left( \frac{P_1}{P_2} \right)$$



# Επίδοση Βέλτιστου Δέκτη

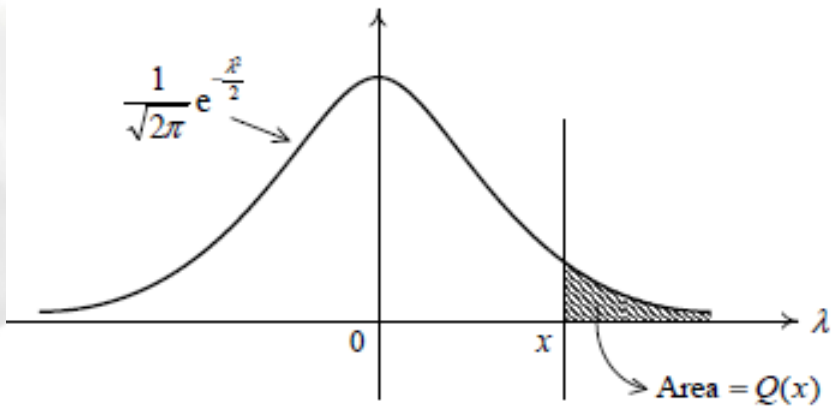
$$\begin{aligned} P[\text{error}] &= P[(0 \text{ transmitted and } 1 \text{ decided}) \text{ or } (1 \text{ transmitted and } 0 \text{ decided})] \\ &= P[(0_T, 1_D) \text{ or } (1_T, 0_D)]. \end{aligned}$$



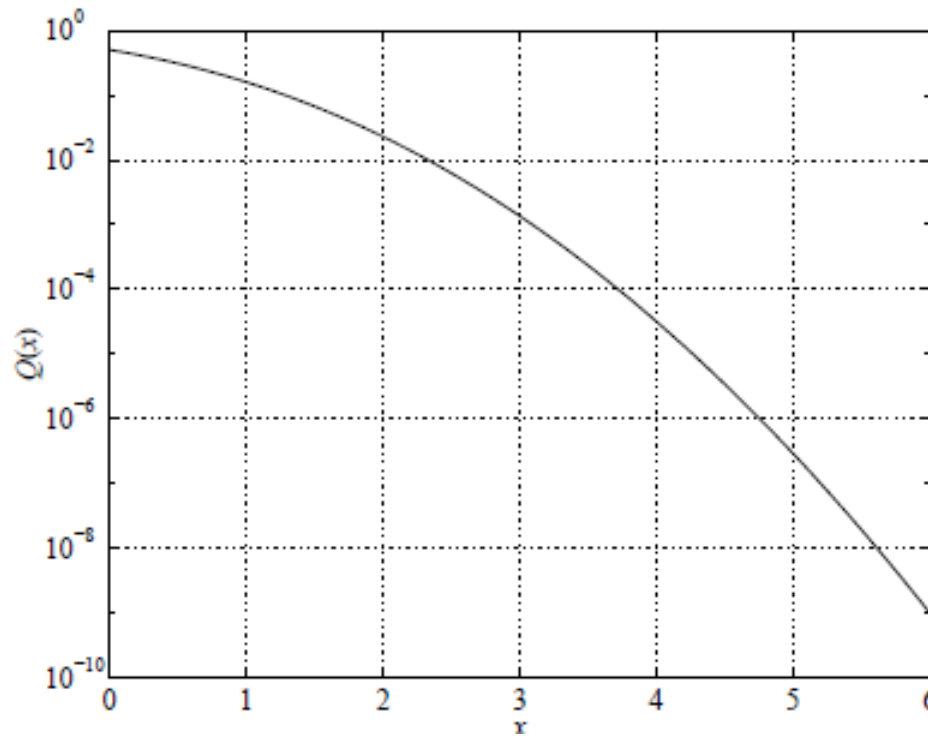
$$\begin{aligned} P[\text{error}] &= P[0_T, 1_D] + P[1_T, 0_D] = P[1_D|0_T]P[0_T] + P[0_D|1_T]P[1_T] \\ &= P_1 \underbrace{\int_T^\infty f(\hat{r}_2|0_T) d\hat{r}_2}_{\text{Area B}} + P_2 \underbrace{\int_{-\infty}^T f(\hat{r}_2|1_T) d\hat{r}_2}_{\text{Area A}} \\ &= P_1 Q\left(\frac{T - \hat{s}_{12}}{\sqrt{N_0/2}}\right) + P_2 \left[1 - Q\left(\frac{T - \hat{s}_{22}}{\sqrt{N_0/2}}\right)\right]. \end{aligned}$$



# Q Function



$$Q(x) \equiv \frac{1}{\sqrt{2\pi}} \int_x^{\infty} \exp\left(-\frac{\lambda^2}{2}\right) d\lambda.$$



# Επίδοση Βέλτιστου Δέκτη

$$\text{Threshold} = \frac{\hat{s}_{12} + \hat{s}_{22}}{2} + \frac{N_0}{2(\hat{s}_{22} - \hat{s}_{12})} \ln \left( \frac{P_1}{P_2} \right)$$

$$P_1 = P_2$$

$$\text{Threshold} = \frac{\hat{s}_{12} + \hat{s}_{22}}{2}$$

$$P[\text{error}] = Q \left( \frac{\hat{s}_{22} - \hat{s}_{12}}{2\sqrt{N_0/2}} \right)$$

$$P[\text{error}] = Q \left( \frac{\text{απόσταση μεταξύ των σημάτων}}{2 \times \text{noise RMS value}} \right)$$

Η πιθανότητα λάθους μικραίνει είτε αν τα δύο σήματα είναι πιο διαφορετικά (αυξάνεται η απόσταση μεταξύ τους) ή επίδραση του θορύβου γίνεται μικρότερη.

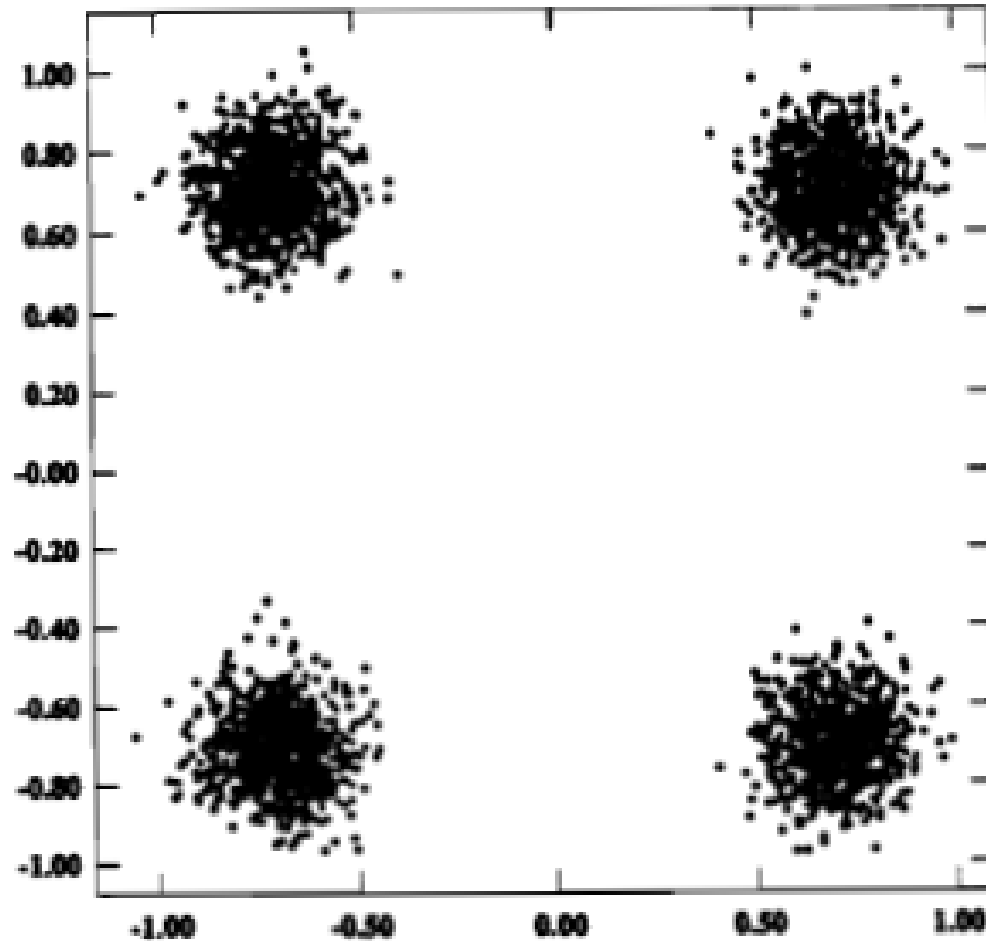
Για να μεγιστοποιήσουμε την απόσταση μεταξύ των δύο σημάτων τα τοποθετούμε με διαφορά 180 μοίρες  $s_2(t) = -s_1(t)$ , antipodal signaling.

Η πιθανότητα λάθος δεν εξαρτάται από το σχήμα των σημάτων αλλά μόνο από τη σχετική τους απόσταση.



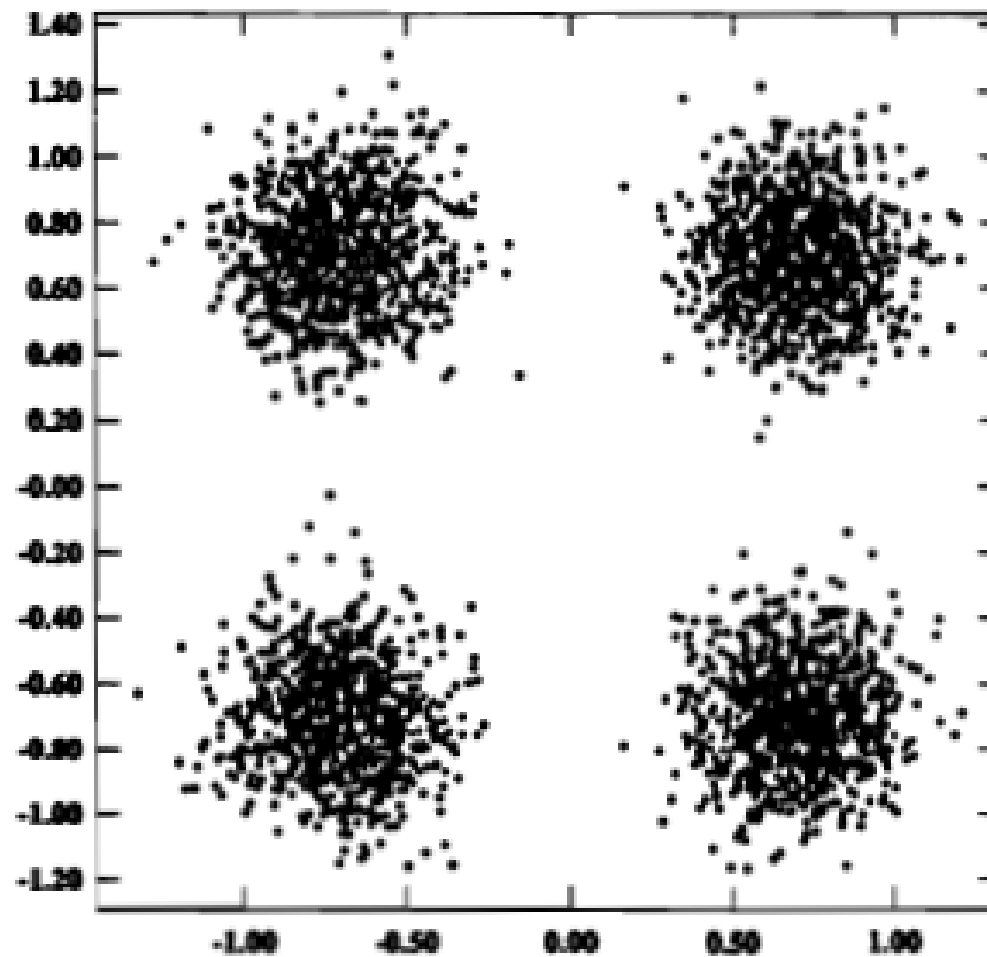
# BEP Performance

QPSK, 4K symbols,  $\alpha=0.35$ ,  $E_b/N_0=15\text{dB}$



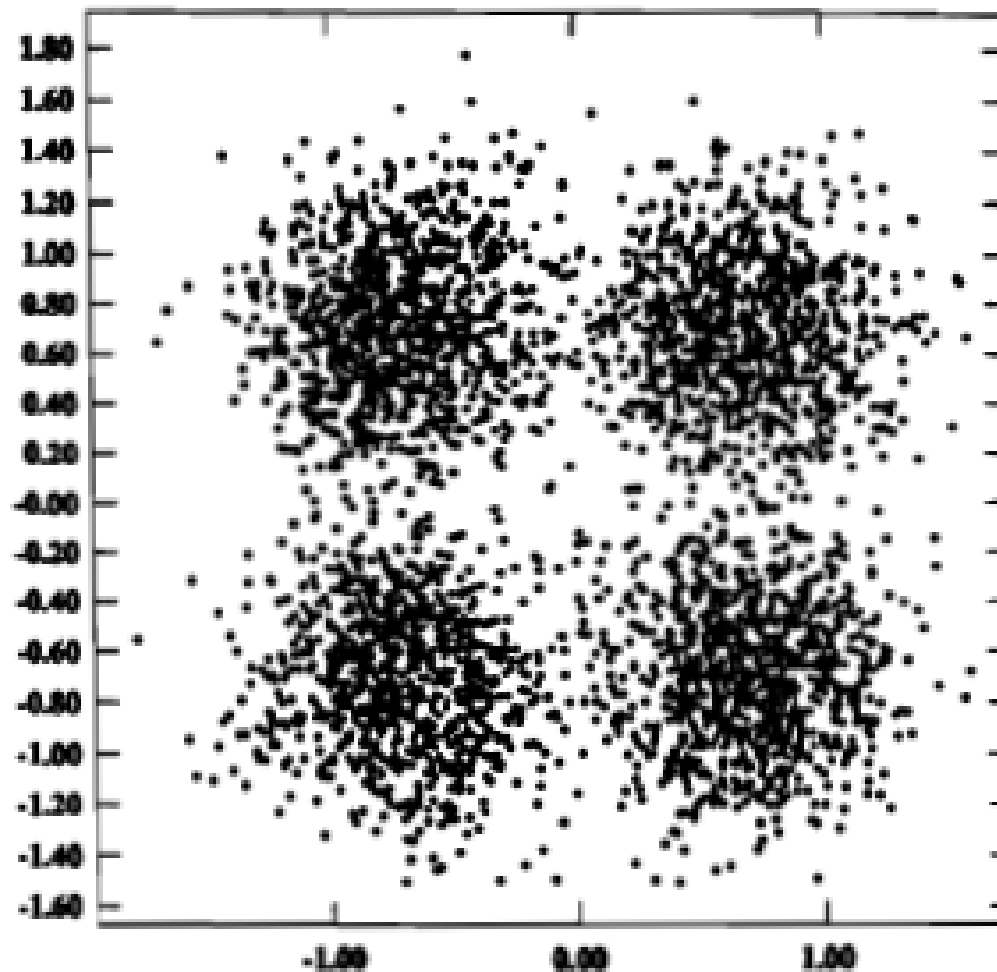
# BEP Performance

QPSK, 4K symbols,  $\alpha=0.35$ ,  $E_b/N_0=10\text{dB}$



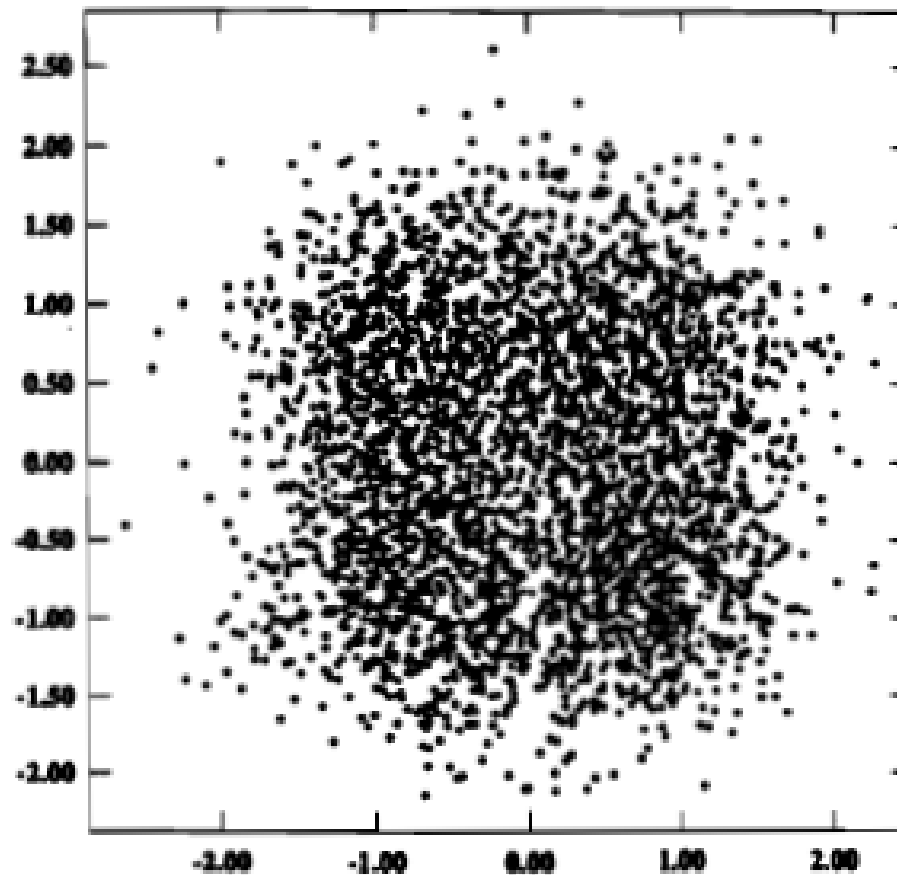
# BEP Performance

QPSK, 4K symbols,  $\alpha=0.35$ ,  $E_b/N_0=5\text{dB}$



# BEP Performance

**QPSK, 4K symbols,  $\alpha=0.35$ ,  $E_b/N_0=0\text{dB}$**

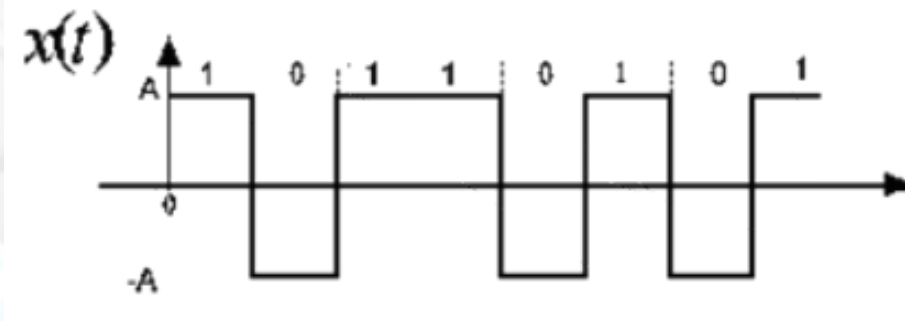




# Πιθανότητα Λάθους/Ψηφιακές Επικοινωνίες

Σύμφωνη Αποδιαμόρφωση/ Χρήση Συσχετιστή ή Προσαρμοσμένου Φίλτρου Παρουσία Θορύβου

Έστω ένα σήμα βασικής ζώνης 2-PAM ή, ισοδύναμα, ένα δυαδικό NRZ:



Θεωρούμε  $s_0(t) = -s(t)$  &  $s_1(t) = s(t)$ , όπου  $s(t)$  ένας παλμός διάρκειας  $T_s$  και πλάτους  $A$ . Τότε, το σήμα λήψης σε κανάλι AWGN δίνεται από τη σχέση:

$$r(t) = \pm s(t) + n(t)$$

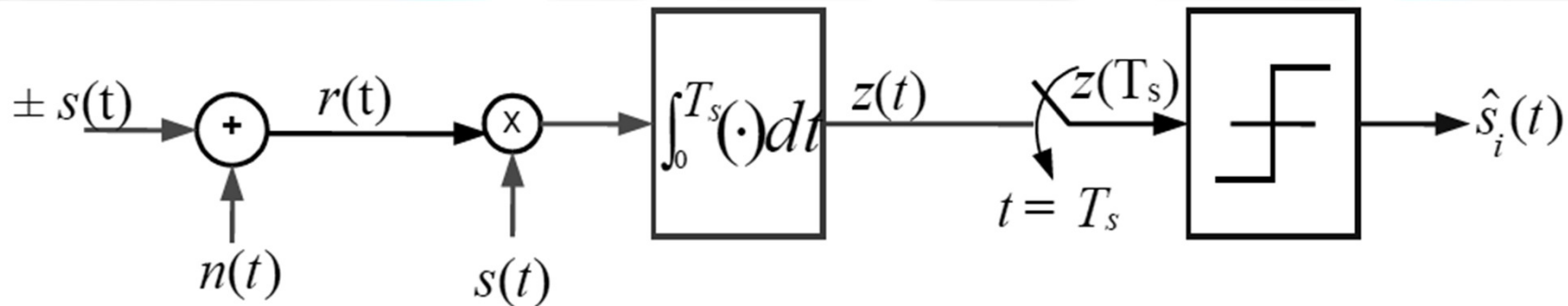
Η εκπεμπόμενη ενέργεια είναι ίδια και για τα δύο σήματα εκπομπής, και δίνεται από τη σχέση:

$$E_s = \int_0^{T_s} [s_0(t)]^2 dt = \int_0^{T_s} [s_1(t)]^2 dt = A^2 T_s$$

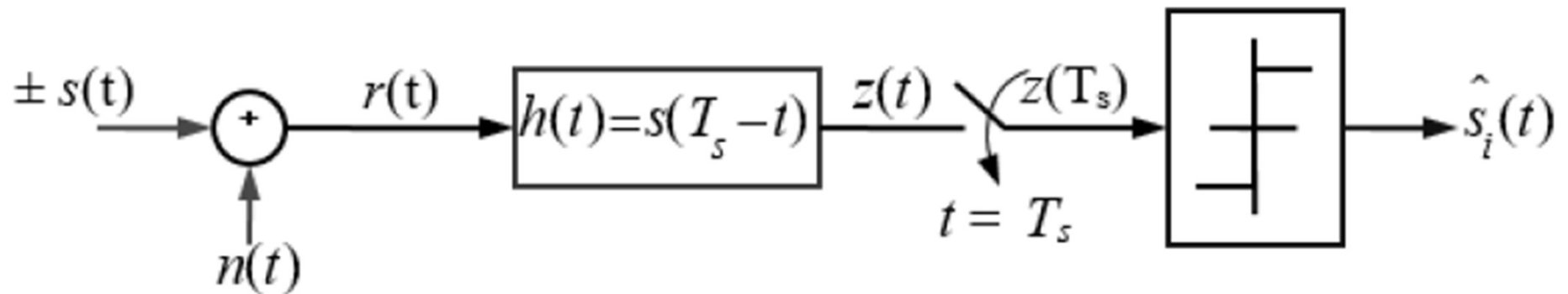


# Πιθανότητα Λάθους/Ψηφιακές Επικοινωνίες

## Δέκτης Συσχετιστής



## Δέκτης με Προσαρμοσμένο Φίλτρο



# Πιθανότητα Λάθους/Ψηφιακές Επικοινωνίες

Έστω ότι στέλνεται το  $s_I(t)$ . Τότε, έχουμε

$$\begin{aligned} z(T_s) &= \int_0^{T_s} [r(\tau)s(\tau)d\tau] = \int_0^{T_s} [A + n(\tau)] A d\tau \\ &= A^2 T_s + \int_0^{T_s} n(\tau) A d\tau = A^2 T_s + n(T_s) = E_s + n(T_s) \end{aligned}$$

Επειδή η τυχαία διαδικασία του θορύβου  $n(t)$  έχει Γκαουσιανή κατανομή, με μέση τιμή μηδέν, προκύπτει ότι  $E[n(T_s)] = 0$ . Η διακύμανση της συνιστώσας του θορύβου στη στατιστική  $z(T_s)$  είναι:

$$\begin{aligned} \sigma_n^2 &= E[n^2(T_s)] = \int_0^{T_s} \int_0^{T_s} E[n(\tau)n(t)] A^2 dt d\tau \\ &= \frac{N_0}{2} \int_0^{T_s} \int_0^{T_s} \delta(t - \tau) A^2 dt d\tau = \frac{N_0}{2} \int_0^{T_s} A^2 dt \\ &= \frac{N_0}{2} A^2 T_s = \frac{N_0}{2} E_s \end{aligned}$$

Το  $z(T_s)$  θα έχει Γκαουσιανή κατανομή με μέση τιμή  $E_s$ , όταν εκπέμπεται το  $s_I(t)$ , και διακύμανση  $(N_0/2) \cdot E_s$ .



# Πιθανότητα Λάθους/Ψηφιακές Επικοινωνίες

Αν εστάλει το  $s_1(t)$  η υπό συνθήκη συνάρτηση πυκνότητας πιθανότητας (conditional PDF) θα είναι:

$$p(z | s_1 \text{ εστάλει}) = \frac{1}{\sigma_n \sqrt{2\pi}} \exp \left[ -\frac{(z - E_s)^2}{2\sigma_n^2} \right]$$

ενώ, αν εστάλει το  $s_0(t)$ , θα είναι:

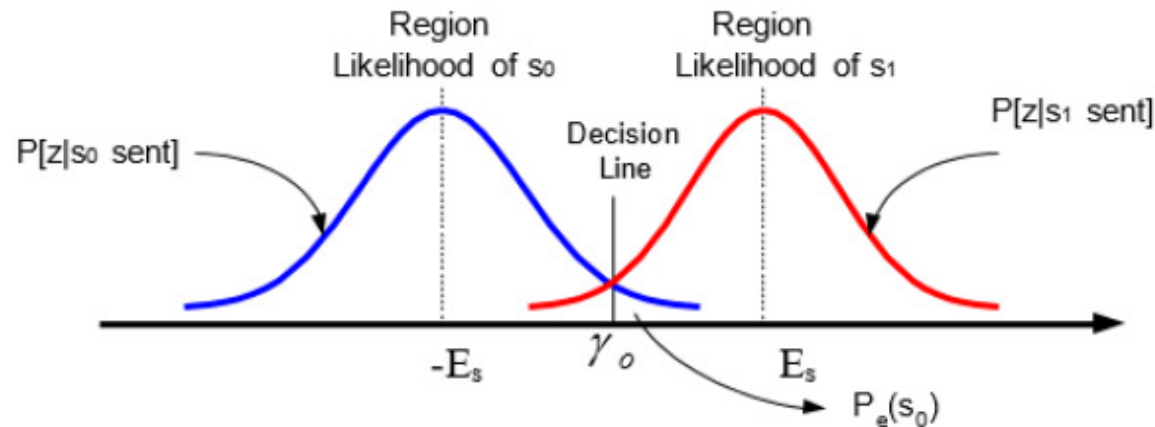
$$p(z | s_0 \text{ εστάλει}) = \frac{1}{\sigma_n \sqrt{2\pi}} \exp \left[ -\frac{(z + E_s)^2}{2\sigma_n^2} \right]$$

Έχουμε ανιχνευτή (detector) ή κύκλωμα απόφασης (decision circuit), το οποίο συγκρίνει το  $z(T_s)$  με κάποιο κατώφλι (threshold)  $\gamma_0$ .

Για διαμόρφωση 2-PAM, το κατώφλι είναι το 0 (ανάμεσα στο  $-E_s$  και το  $E_s$ ).



# Πιθανότητα Λάθους/Ψηφιακές Επικοινωνίες



Έστω ότι εκπέμπεται το σύμβολο  $s_1(t) = s(t)$ . Τότε, η πιθανότητα λάθους ισούται με τη πιθανότητα  $z(T_s) < 0$

$$P[\text{error} | s_1(t)]$$

$$= P[z(T_s) < 0]$$

$$= \frac{1}{\sigma\sqrt{2\pi}} \int_{-\infty}^0 e^{-\frac{(r-E_s)^2}{2\sigma_n^2}} dr$$

$$\left( y = \frac{r - E_s}{\sigma_n} \right)$$

$$= \frac{1}{\sigma\sqrt{2\pi}} \int_{-\infty}^{-E_s/\sigma_n} e^{-\frac{y^2}{2}} dy$$

$$\left( dy = \frac{1}{\sigma_n} dr \right)$$

$$= 1 - Q\left(-\frac{E_s}{\sigma_n}\right) = Q\left(\frac{E_s}{\sigma_n}\right) = Q\left(\sqrt{\frac{2E_s}{N_0}}\right)$$

# Πιθανότητα Λάθους/Ψηφιακές Επικοινωνίες

Ομοίως:

$$P[error | s_0(t)] = Q\left(\sqrt{2E_s / N_0}\right)$$

$$\begin{aligned} P_s &= P[s_0(t)]P[error | s_0(t)] + P[s_1(t)]P[error | s_1(t)] \\ &= \frac{1}{2}Q\left(\sqrt{\frac{2E_s}{N_0}}\right) + \frac{1}{2}Q\left(\sqrt{\frac{2E_s}{N_0}}\right) \\ &= Q\left(\sqrt{\frac{2E_s}{N_0}}\right) \end{aligned}$$

Σύμβολο= bit



# Πιθανότητα Λάθους – Μη Σύμφωνη Αποδιαμόρφωση

Εδώ ενδιαφερόμαστε για την κατανομή της περιβάλλουσας του σήματος εισόδου –αφού αυτή συγκρίνεται την κατάλληλη χρονική στιγμή με το κατώφλι για να ληφθεί η απόφαση:

$$x(t_o) = A \cos(\omega_c t_o + \theta) + n(t_o) \quad \text{πιθανή εκπομπή 1}$$

$$x(t_o) = n(t_o) \quad \text{πιθανή εκπομπή 0}$$

$$x_1(t_o) = [A + n_c(t_o)] \cos(\omega_c t_o + \theta) - n_s(t_o) \sin(\omega_c t_o + \theta)$$

$$x_0(t_o) = n_c(t_o) \cos(\omega_c t_o + \theta) - n_s(t_o) \sin(\omega_c t_o + \theta)$$

Οι περιβάλλουσες των δύο εκδοχών ακολουθούν τις κατανομές Rice & Rayleigh αντίστοιχα:

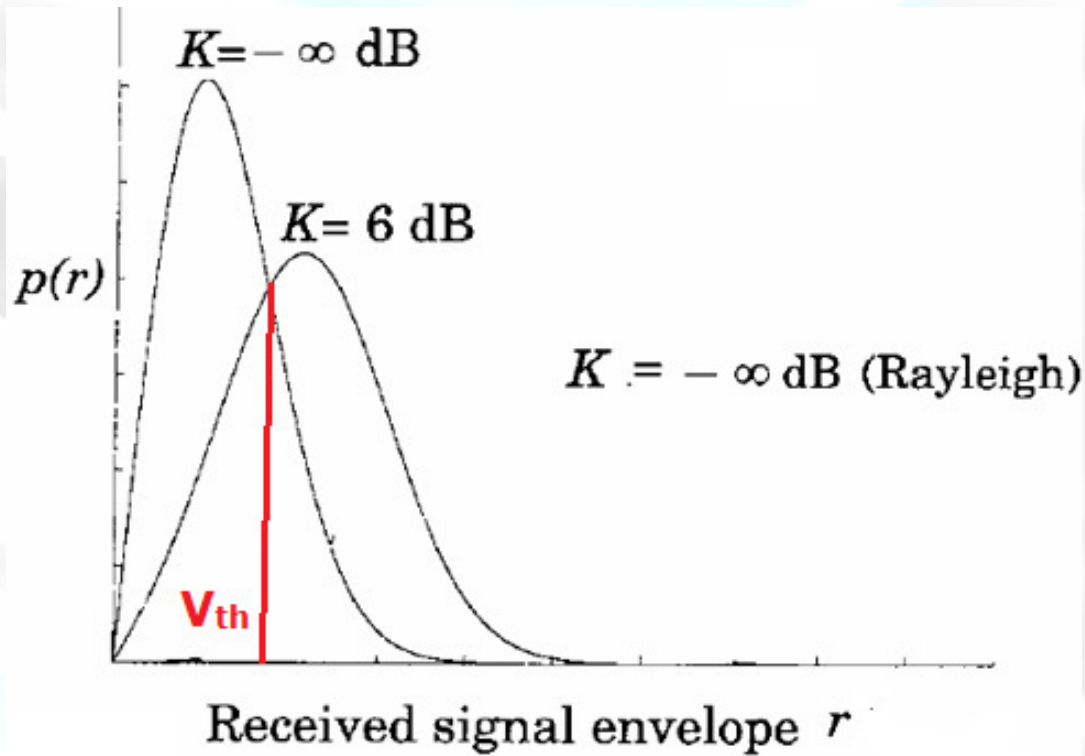
$$p_1(R) = \frac{R}{N} \exp\left(-\frac{R^2 + A^2}{2N}\right) I_0\left(\frac{AR}{N}\right), \quad N = E\{n_c^2(t)\} = E\{n_s^2(t)\}, \quad R \geq 0 \quad \textbf{Rician}$$

$$p_0(R) = \frac{R}{N} \exp\left(-\frac{R^2}{2N}\right), \quad R \geq 0 \quad \textbf{Rayleigh}$$





# Πιθανότητα Λάθους – Μη Σύμφωνη Αποδιαμόρφωση



$$P_{e0} = \int_{V_{th}}^{\infty} p_0(R) dR$$

$$P_{e1} = \int_0^{V_{th}} p_1(R) dR$$

$$BEP = 0.5 \left[ \int_{V_{th}}^{\infty} p_0(R) dR + \int_0^{V_{th}} p_1(R) dR \right]$$

min BEP

$$I_0 \left( \frac{V_{th} \cdot A}{N} \right) = \exp \left( \frac{A^2}{2N} \right)$$

$$V_{th} = \frac{A}{2} \left( 1 + \frac{8N}{A^2} \right)^{1/2}$$

**Σημαντικό μειονέκτημα της μη σύμφωνης αποκωδικοποίησης είναι η εξάρτηση του κατωφλίου από το θόρυβο.**



# Κριτήριο Μεγίστης Πιθανοφάνειας

## Maximum Likelihood Ratio Test --- Maximum Likelihood Detector/MLD

$$L(z) = \frac{p(z|s_1)}{p(z|s_0)} \underset{<}{\overset{\geq}{}} 1$$

Αν  $L(z) > 1$ , αποφασίζουμε ότι στάλθηκε το  $s_1$  αφού  $p(z | s_1) > p(z | s_0)$ ,

Αν  $L(z) < 1$ , αποφασίζουμε ότι στάλθηκε το  $s_0$ .

$$L(z) = \frac{p(z | s_1)}{p(z | s_0)} \underset{<}{\overset{\geq}{}} 1 \Rightarrow \frac{\frac{1}{\sigma_n \sqrt{2\pi}} \exp\left[-\frac{1}{2\sigma_n^2}(z - E_b)^2\right]}{\frac{1}{\sigma_n \sqrt{2\pi}} \exp\left[-\frac{1}{2\sigma_n^2}(z + E_b)^2\right]} \underset{<}{\overset{\geq}{}} 1$$



# Κριτήριο Μεγίστης Πιθανοφάνειας

## Maximum Likelihood Ratio Test --- Maximum Likelihood Detector/MLD

Αποδεικνύουμε ότι ο MLD είναι ισοδύναμος με τον κανόνα απόφασης με βάση τη μικρότερη Ευκλείδεια απόσταση.

$$\log(L(z)) = \log\left(\exp\left[-\frac{(z-E_b)^2}{2\sigma_n^2} + \frac{(z+E_b)^2}{2\sigma_n^2}\right]\right) \begin{matrix} \geq \\ < \end{matrix} \log(1) = 0$$

$$\Leftrightarrow -\frac{(z-E_b)^2}{2\sigma_n^2} + \frac{(z+E_b)^2}{2\sigma_n^2} \begin{matrix} \geq \\ < \end{matrix} 0$$

$$\Leftrightarrow \frac{(z-E_b)^2}{2\sigma_n^2} - \frac{(z+E_b)^2}{2\sigma_n^2} \begin{matrix} \leq \\ > \end{matrix} 0 \Leftrightarrow (z-E_b)^2 \begin{matrix} \leq \\ > \end{matrix} (z+E_b)^2 \Leftrightarrow |z-E_b| \begin{matrix} \leq \\ > \end{matrix} |z+E_b|$$

$$|z-E_b| < |z+E_b| \text{ τότε } L(z) > 1,$$

$$|z-E_b| > |z+E_b| \text{ τότε } L(z) < 1,$$

$$(z-E_b)^2 - (z+E_b)^2 \begin{matrix} \leq \\ > \end{matrix} 0$$

$$\Leftrightarrow z^2 - 2zE_b + E_b^2 - z^2 - 2zE_b - E_b^2 \begin{matrix} \leq \\ > \end{matrix} 0 \Leftrightarrow -4zE_b \begin{matrix} \leq \\ > \end{matrix} 0$$

$$\Leftrightarrow z \begin{matrix} \geq \\ < \end{matrix} 0$$



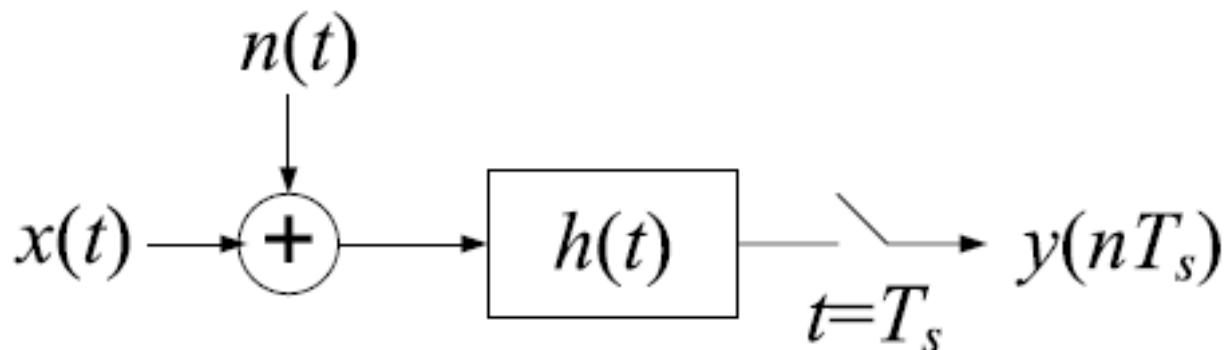
# Προσαρμοσμένο Φίλτρο/Δέκτης

## Λόγος Σήματος προς Θόρυβο στο Δέκτη (Receiver SNR)

- SNR στο δέκτη:

$$\text{SNR} = \frac{\text{μέση ενέργεια διαμορφωμένου σήματος}}{\text{μέση τετραγωνική τιμή θορύβου}}.$$

- Στο δέκτη του σήματος θέλουμε να βρούμε το φίλτρο  $h(t)$  που μεγιστοποιεί τον SNR στην έξοδο τη χρονική στιγμή  $T_s$  κατά την οποία γίνεται η δειγματοληψία. Ο θόρυβος είναι AWGN.
- Εδώ θεωρούμε ντετερμινιστικό  $x(t)$  (θα γενικεύσουμε αργότερα).



# Προσαρμοσμένο Φίλτρο/Δέκτης

Μεγιστοποίηση SNR του δέκτη από το προσαρμοσμένο φίλτρο

- Ενέργεια σήματος τη χρονική στιγμή  $T_s$ :

$$\begin{aligned} |y(T_s)|^2 &= |x(t) * h(t)|_{t=T_s}|^2 = \left| \int_{-\infty}^{+\infty} x(\tau) h(t - \tau) d\tau \right|_{t=T_s}^2 \\ &= \left| \int_{-\infty}^{+\infty} x(\tau) h(T_s - \tau) d\tau \right|^2 = |\langle x(t), h^*(T_s - t) \rangle|^2 \end{aligned}$$

- Μέση ενέργεια θορύβου στην έξοδο του  $h(t)$ :

$$\begin{aligned} \mathbb{E}[|\tilde{n}(T_s)|^2] &= \mathbb{E} \left[ \int_{-\infty}^{+\infty} n(\tau) h(T_s - \tau) d\tau \int_{-\infty}^{+\infty} n^*(\tau') h^*(T_s - \tau') d\tau' \right] \\ &= \mathbb{E} \left[ \int_{-\infty}^{+\infty} \int_{-\infty}^{+\infty} \frac{\mathcal{N}_0}{2} \delta(\tau - \tau') h(T_s - \tau) h^*(T_s - \tau') d\tau d\tau' \right] \\ &= \frac{\mathcal{N}_0}{2} \int_{-\infty}^{+\infty} |h(T_s - \tau)|^2 d\tau = \frac{\mathcal{N}_0}{2} \langle h(t), h(t) \rangle = \frac{\mathcal{N}_0}{2} \|\mathbf{h}\|^2. \end{aligned}$$





# Προσαρμοσμένο Φίλτρο/Δέκτης

## Μεγιστοποίηση SNR του δέκτη από το προσαρμοσμένο φίλτρο (2)

- Επομένως,  $\text{SNR} = \frac{2}{\mathcal{N}_0} \frac{|\langle x(t), h^*(T_s - t) \rangle|^2}{\|\mathbf{h}\|^2}$ .
- Από την ανισότητα Cauchy-Schwarz,  $|\langle x(t), h^*(T_s - t) \rangle|^2 \leq \|\mathbf{x}\|^2 \|\mathbf{h}\|^2$ , με  $=$  εάν και μόνο εάν  $x(t) = kh^*(T_s - t)$  ή, ισοδύναμα,  $h(t) = Kx^*(t - T_s)$ . (γιατί  $\langle h(T_s - t), h(T_s - t) \rangle = \langle h(t), h(t) \rangle$ ;) )
- Συνεπώς,  $\text{SNR}_{\max} = \frac{2}{\mathcal{N}_0} \frac{K^2 \|\mathbf{x}\|^2 \|\mathbf{x}\|^2}{K^2 \|\mathbf{x}\|^2} = \frac{2}{\mathcal{N}_0} \|\mathbf{x}\|^2$ , όταν το φίλτρο  $h(t)$  είναι προσαρμοσμένο στο σήμα  $x(t)$ .
- Η πιθανότητα σφάλματος  $P_e$  στο δέκτη εξαρτάται από το λόγο  $d_{\min}/\sigma$  και, επομένως, από τον SNR. Επομένως, με χρήση δέκτη προσαρμοσμένων φίλτρων βελτιστοποιούμε την απόδοση του συστήματος.
- Το προσαρμοσμένο φίλτρο μας λέει, στην ουσία, ότι όταν ξέρουμε ότι κάποιο διάνυσμα βρίσκεται πάνω σε μια κατεύθυνση (στη συγκεκριμένη περίπτωση  $\mathbf{h}$ ) το καλύτερο που μπορούμε να κάνουμε είναι να “κοιτάξουμε” σε εκείνη την κατεύθυνση.



# Προσαρμοσμένο Φίλτρο/Δέκτης

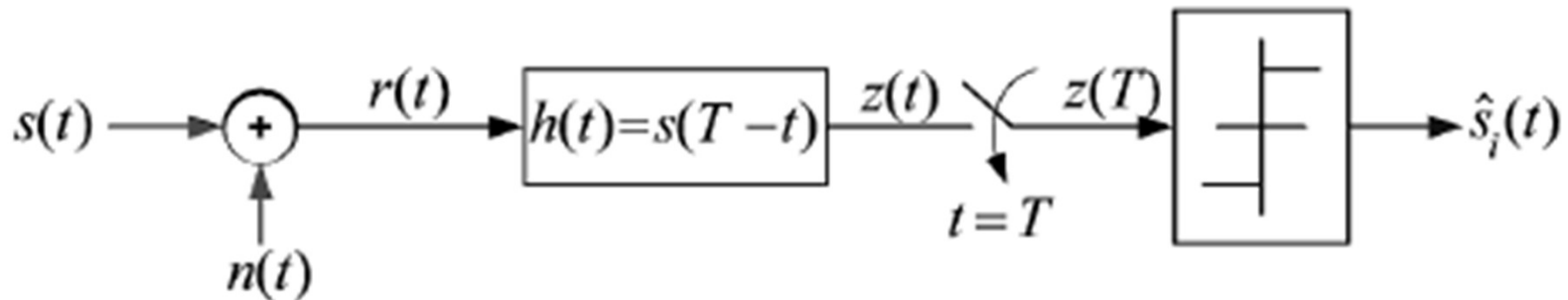
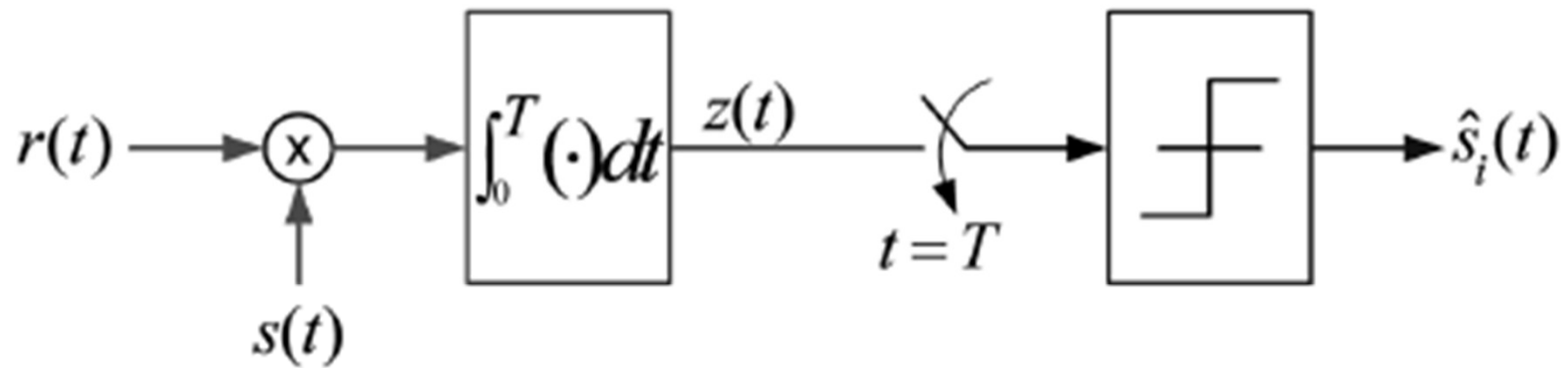
Μεγιστοποίηση SNR του δέκτη  
από το προσαρμοσμένο φίλτρο (3)

- Έστω, τώρα, ότι το σήμα  $X(t)$  είναι τυχαίο. Αν χρησιμοποιούμε γραμμική διαμόρφωση, οποιοδήποτε  $X(t)$  μπορεί να γραφτεί στη μορφή  $X(t) = \sum_{n=1}^N X_n \phi_n(t)$ .
- Για να μεγιστοποιήσουμε τον SNR σε κάθε διάσταση,  $n$ , πρέπει να χρησιμοποιήσουμε το προσαρμοσμένο φίλτρο  $\phi_n^*(-t)$ .
- Συνεπώς, ο αποδιαμορφωτής προσαρμοσμένων φίλτρων μεγιστοποιεί τον SNR ανά διάσταση και, επομένως, και το συνολικό SNR.
- Επίσης, όπως αναφέραμε, με χρήση του αποδιαμορφωτή προσαρμοσμένων φίλτρων διατηρείται όλη η πληροφορία που απαιτείται για την ανίχνευση του  $\mathbf{x} = [x_1 \ x_2 \ \dots \ x_N]$ . Δηλαδή, δεν υπάρχει απώλεια επίδοσης του δέκτη όσον αφορά την εκτίμηση του  $\mathbf{x}$ .





## Ισοδυναμία Correlator/Matched Filter – 2-PAM/NRZ-Polar



## Ισοδυναμία Correlator/Matched Filter

Για το δέκτη συσχετιστή:

$$z(t) = \int_0^t r(\tau) s(\tau) d\tau$$

Τη χρονική στιγμή δειγματοληψίας, το δείγμα που εισέρχεται στον ανιχνευτή είναι:

$$z(T) = z(t)|_{t=T} = \int_0^T r(\tau) s(\tau) d\tau$$

Για το δέκτη με προσαρμοσμένο φίλτρο:

$$z(t) = r(t) * h(t) = \int_{-\infty}^{\infty} r(\tau) h(t - \tau) d\tau = \int_0^t r(\tau) h(t - \tau) d\tau$$

$$h(t) = s(T - t) \Rightarrow h(t - \tau) = s[T - (t - \tau)] = s(T + \tau - t)$$

$$z(t) = \int_0^t r(\tau) s(T + \tau - t) d\tau$$



## Ισοδυναμία Correlator/Matched Filter -2-PAM

Τη χρονική στιγμή δειγματοληψίας, το δείγμα από το προσαρμοσμένο φίλτρο που εισέρχεται στον ανιχνευτή είναι:

**Matched Filter:**

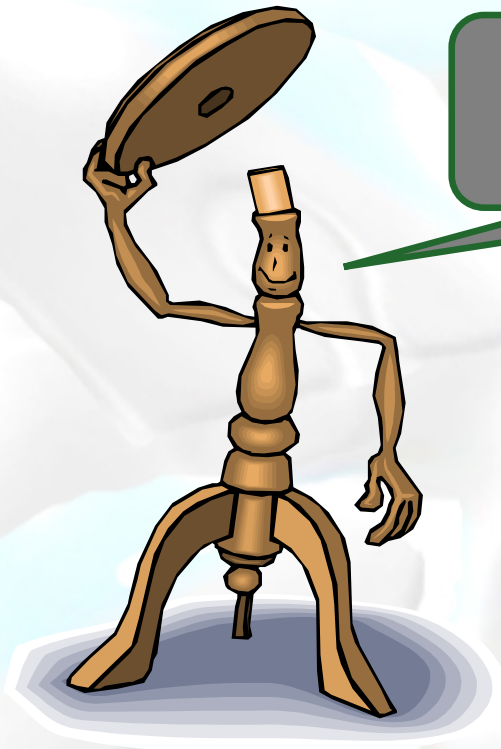
$$z(T) = z(t)|_{t=T} = \int_0^T r(\tau) s(T + \tau - T) d\tau = \int_0^T r(\tau) s(\tau) d\tau$$

**Correlator:**

$$z(T) = z(t)|_{t=T} = \int_0^T r(\tau) s(\tau) d\tau$$



# Q&A



Ευχαριστώ για την  
προσοχή σας !!!



E-mail: [thpanag@ece.ntua.gr](mailto:thpanag@ece.ntua.gr)  
Παλ. Κτίρια Ηλ/γων Γρ. 3.2.9  
Τηλ.: 2107723842